

CONDICIONES CALCULO MECANICOS RED RIEGO

PARA ZANJAS CON RELLENO COMPACTADO

Modernización de Canal de Campillo de Buitrago
(Soria)

THPCCJE

DN1600 a 700 mm

AGOSTO 2021

MEMORIA

Los tubos se dimensionan con el procedimiento desarrollado en la Instrucción del Instituto Eduardo Torroja para tubos de hormigón armado o pretensado de septiembre de 2007 y que a continuación pasamos a detallar.

Este procedimiento de cálculo está reconocido como método español para cálculo de tuberías de hormigón armado o pretensado en el apartado B.1.9 de la versión española de la norma UNE-EN-1295-1 de julio de 1997: “Cálculo de la resistencia mecánica de tuberías enterradas bajo diferentes condiciones de carga”.

Las acciones que se consideran en el dimensionamiento de los tubos son las acciones directas a las que hay que añadir las acciones debidas al postesado cuando se trata de tubos de hormigón postesado con camisa de chapa.

Las acciones directas que se tienen en cuenta son las siguientes:

- Peso propio.
- Cargas del fluido.
- Cargas verticales del relleno.
- Cargas concentradas.
- Empuje lateral.
- Presión de Diseño/Presión Máxima de Diseño.

Ø Peso propio:

El peso propio, q_1 , por metro lineal, es:

$$q_1 = g_t \cdot p \cdot d_m \cdot t \quad (\text{kN/m})$$

donde:

g_t = Peso específico del material que constituye las paredes del tubo (kN/m^3).

d_m = Diámetro medio del tubo (m). = $(d + d_e)/2$

t = Espesor del tubo (m).

Ø Carga del fluido:

La carga del fluido, q_2 , por metro lineal, es:

$$q_2 = g_1 \times p \times \frac{d_i^2}{4} \quad (kN/m)$$

donde:

g_1 = Peso específico del fluido (kN/m^3).

d_i = Diámetro interior del tubo (m).

Ø Cargas verticales del relleno:

Estas cargas se descomponen en dos:

- La carga q_3 , debida al peso del relleno de los tímpanos:

$$q_3 = 0,11g_r d_e^2 \quad (kN/m^2)$$

donde:

g_r = Peso específico del relleno (kN/m^3).

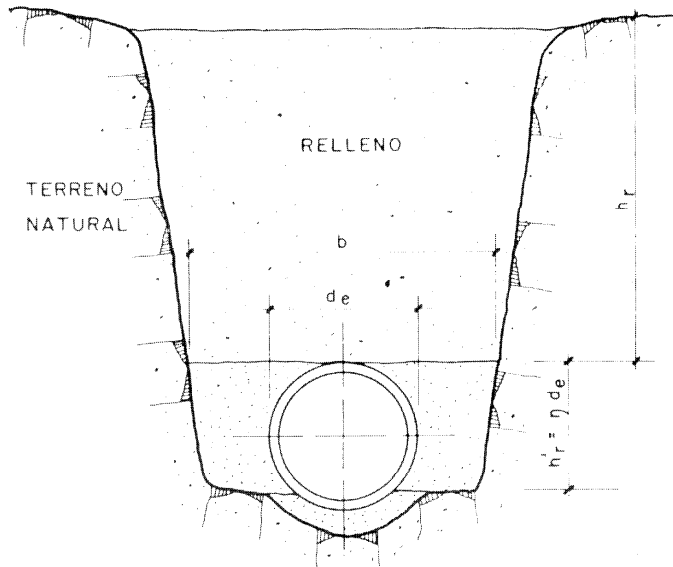
d_e = Diámetro exterior del tubo (m).

- La carga q_r , que actúa sobre el plano tangente a la generatriz superior del tubo, y que depende del tipo de colocación de la tubería.

Para el cálculo de las cargas verticales que producen los rellenos, se utiliza la teoría propuesta por Marston ampliada por Schilk y Spangler. Estas teorías consideran la compactación del relleno lateral, el peso del relleno, y las fuerzas de rozamiento que se originan en el mismo, y que producen aumento o disminución del peso del relleno que gravita directamente sobre el tubo,

en función del tipo de instalación.

a) Instalación en zanja:



Esquema de la tubería colocada en zanja

En la instalación en zanja, el relleno y el apoyo sufren un asentamiento relativo frente al terreno primitivo, y se producen unas fuerzas de rozamiento que originan un aligeramiento del peso del relleno sobre la tubería.

Este efecto favorable disminuye a medida que aumenta la anchura de la zanja lo que obliga a calcular, también, el peso del relleno como si la tubería estuviera colocada en terraplén, y considerar como real el menor de ambos, ya que la carga para el caso de

instalación en terraplén es la mayor que se puede producir para una altura de relleno determinada.

En este caso se estima que el peso del relleno es íntegramente soportado por la tubería, con el efecto favorable de su rozamiento contra los laterales de la zanja.

Entonces:

$$q_r = C_z \times g_r \times h_r \times d_e \times \frac{b}{d_e} = C_z \times g_r \times h_r \times b \text{ (kN/m)}$$

Con h_r en m, y donde C_z es el coeficiente de Marston para tubería colocada en zanja, vale:

$$C_z = \frac{1 - e^{-21 m \frac{h_r}{b}}}{21 m \frac{h_r}{b}}$$

Para tubos de hormigón armado o postensado con camisa de chapa, cuyo dimensionamiento se

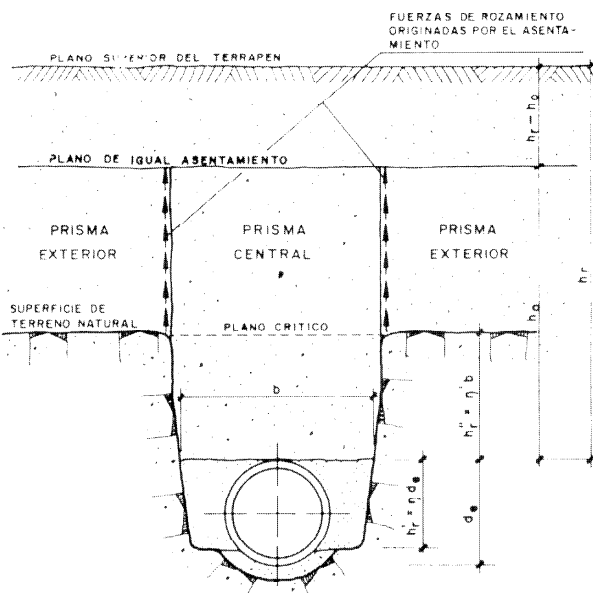
hace por cálculo, se considerará el valor de "d_e" en vez de "b", siempre que el relleno esté adecuadamente compactado (Proctor Normal 95%).

La distribución del peso, en el plano tangente a la generatriz superior del tubo, es virtualmente uniforme y, por lo tanto, la carga que actúa sobre la tubería será la correspondiente a su proyección vertical, es decir:

$$q_r = C_z \cdot I_r \cdot h_r \cdot d_e \text{ (kN/m)}$$

A medida que aumenta la anchura de la zanja, disminuye el efecto reductor de las paredes laterales, y como q_r es función de la anchura de la zanja, siempre es necesario comparar este valor de q_r con el que se obtendría si la tubería estuviera colocada en terraplén, y tomar el menor de ambos, ya que, como se comentó anteriormente, la carga de terraplén es la mayor que se puede producir para una altura de relleno determinada.

b) Instalación en zanja terraplenada:



En la instalación en zanja terraplenada, el prisma central que está limitado por los planos que contienen las paredes de la zanja, es de mayor altura que los prismas exteriores, y por tanto, estos prismas asientan menos que el prisma central, y se producen unas fuerzas de rozamiento, sobre este último, que originan un aligeramiento del peso del relleno sobre la tubería.

Al aumentar la altura del relleno, disminuye la diferencia de asentamiento

que se hace nula en el llamado plano de igual asentamiento.

En este tipo de instalación se denomina:

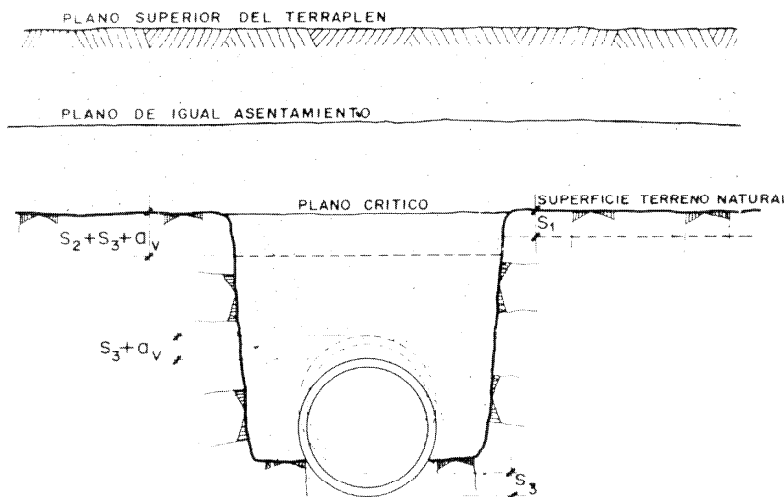
- Razón de proyección o coeficiente de proyección, h', al coeficiente cuyo numerador es la

distancia de la generatriz superior del tubo al plano crítico y cuyo denominador es la anchura de la zanja al nivel de la generatriz superior:

$$h' = \frac{h_r''}{b}$$

- Razón de asentamiento, $d\phi$, (fig. 3), al valor definido por la expresión:

$$d\phi = \frac{s_1 - (s_2 + s_3 + a_v)}{s_2}$$



Donde:

s_1 es el asentamiento de la superficie del terreno natural.

s_2 es el asentamiento del relleno en la zanja, entre el nivel del terreno natural y la generatriz superior del tubo.

s_3 es el asentamiento de la generatriz inferior del tubo.

a_v es la deformación vertical del tubo.

fig. 1 Esquema de la tubería colocada en zanja terraplenada.

Razón de asentamiento

La carga q_r será:

$$q_r = C_{zt} \cdot g_r \cdot h_r \cdot b \text{ (kN/m)}$$

ó

$$q_r = C_{zt} \cdot g_r \cdot h_r \cdot d_e \text{ (kN/m)}$$

Según esté el relleno adecuadamente compactado o no.

El coeficiente de Marston, C_{zt} , para tubería colocada en zanja terraplenada, vale:

Si $h_r \leq h_0$:

$$C_{zt} = \frac{1 - e^{-2l m \frac{h_r}{b}}}{2l m \frac{h_r}{b}}$$

Si $h_r > h_0$:

$$C_{zt} = \frac{1 - e^{-2l m \frac{h_0}{b}}}{2l m \frac{h_r}{b}} + \left(1 - \frac{h_0}{h_r}\right) \times e^{-2l m \frac{h_0}{b}}$$

El valor de h_0 se deduce de:

$$e^{-2l m \frac{h_0}{b}} = -2l m \frac{h_0}{b} + |d'h'| \times 2l m + 1$$

donde:

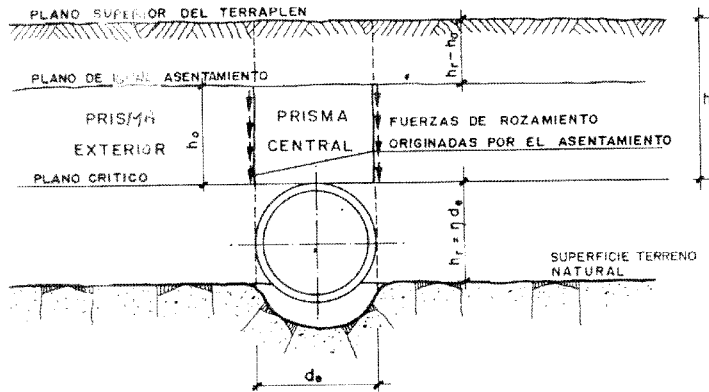
$$h' = \frac{h_r''}{b}$$

Como valores de la razón de asentamiento, d' , se recomienda tomar los adoptados por la ASCE (American Society of Civil Engineering), que son los que a continuación se indican, en función de la razón de proyección d' .

Razón de proyección h'	Razón de asentamiento d'
0,5	- 0,1
1,0	- 0,3
1,5	- 0,5
2,0	- 1,0

Para rellenos que queden por debajo del plano de igual asentamiento, la zanja terraplenada se comporta como una zanja normal; mientras que para rellenos superiores, la reducción de carga es menor, por no establecerse las fuerzas de rozamiento por encima del plano de igual asentamiento. Al igual que ocurre con las colocaciones en zanja, siempre hay que calcular también la carga como si se tratara de una colocación en terraplén y considerar el menor de los valores obtenidos.

c) Instalación en terraplén



En las instalaciones en terraplén, el prisma central, que está limitado por los planos verticales tangentes a la tubería, es de menor altura que los prismas exteriores, y por tanto, estos prismas asientan más que el prisma central y se producen unas fuerzas de rozamiento, sobre este

último, que originan un aumento del peso del relleno sobre la tubería.

Al aumentar la altura del relleno, disminuye la diferencia de asentamiento, que se hace nula en el plano de igual asentamiento.

$$q_r = C_t \cdot g_r \cdot h_r \cdot d_e \text{ (kN/m)}$$

El coeficiente de Marston, C_t , para tubería colocada en terraplén, vale:

Si $h_r \leq h_0$:

$$C_t = \frac{e^{21 \cdot m \cdot \frac{h_r}{d_e}} - 1}{21 \cdot m \cdot \frac{h_r}{d_e}}$$

Si $h_r > h_0$:

$$C_t = \frac{e^{21 \cdot m \cdot \frac{h_0}{d_e}} - 1}{21 \cdot m \cdot \frac{h_r}{d_e}} + \left(1 - \frac{h_0}{h_r}\right) e^{21 \cdot m \cdot \frac{h_0}{d_e}}$$

El valor de h_0 se deduce de:

$$e^{21 \cdot m \cdot \frac{h_0}{d_e}} = 21 \cdot m \cdot \frac{h_0}{d_e} + dh \cdot 21 \cdot m + 1$$

donde:

$$h = \frac{h_r}{d_e}$$

Como valores de la razón de asentamiento, d , se recomienda tomar los adoptados por la ASCE (American Society of Civil Engineering), que son los que a continuación se indican en función del tipo de suelo.

Tipo de suelo	RAZÓN DE ASENTAMIENTO d	
	Valor usual	Valor de diseño
Roca o suelo no asentable	1,0	1,0
Suelo ordinario	0,5 a 0,8	0,5
Suelo asentable	0,0 a 0,5	0,3

Ø Cargas concentradas

a) Cargas concentradas, sin efecto de impacto.

Se admite que una carga concentrada Q , aplicada en la superficie del terreno, se transmite uniformemente en profundidad, en el interior de un tronco de pirámide, de igual pendiente, cuyas aristas están redondeadas y cuyas caras laterales forman un ángulo de 35° con la vertical.

El valor de la carga q_0 , que actúa sobre el plano tangente a la generatriz superior del tubo, y que depende del tipo de colocación de la tubería, zanja o terraplén, en la práctica se considera admisible utilizar las expresiones correspondientes al caso de terraplén.

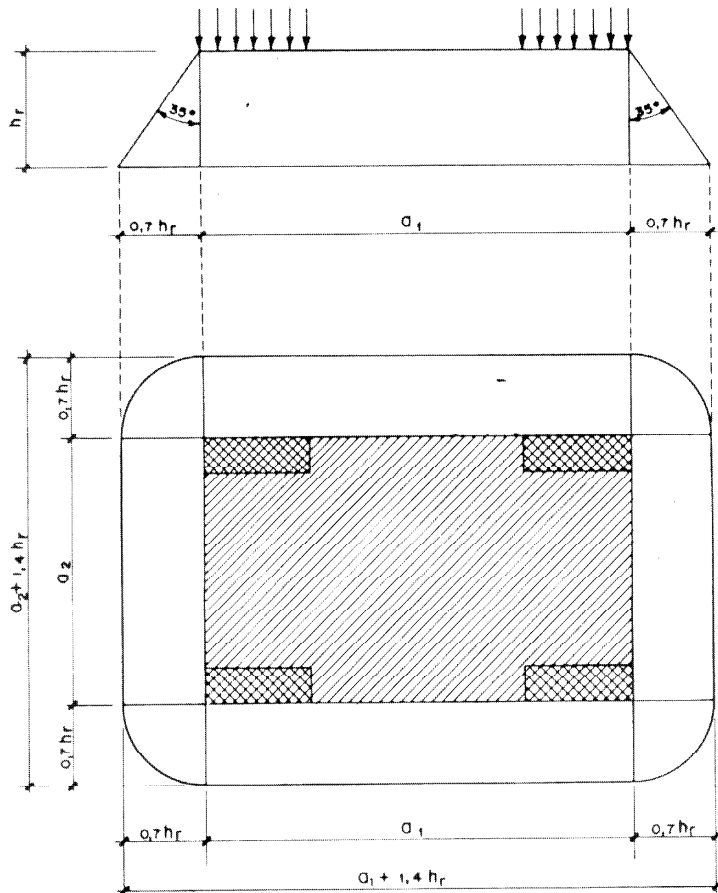
$$q_0 = q_Q \times d_e \text{ (kN/m); } \text{ si e n d o } q_Q = \frac{Q}{A_r} \text{ (kN/m}^2\text{)}$$

y donde:

q_0 = Carga estática, en kN/m.

Q = Carga concentrada, en kN.

A_r = Área de reparto, en m^2 , a una profundidad h_r , de la carga Q aplicada en la superficie del terraplén, según un rectángulo de dimensiones a_1 y a_2 , en m.



Superficie de reparto a la profundidad h_r

Esta área viene dada por la expresión:

$$A_r = 1,54 \times h_r^2 + 1,4 \times h_r (a_1 + a_2) + a_1 \times a_2 \quad (m^2)$$

d_e = Diámetro exterior del tubo, en m.

h_r = Profundidad del plano de reparto, en m.

Esto presupone la existencia de una h_r mínima, para que la anchura de la zona de reparto a esa profundidad sea mayor o igual que el diámetro exterior del tubo, es decir, que dicho diámetro no

sea mayor que la sección transversal de la superficie de reparto a la profundidad h_r . De no cumplirse esta condición será preciso utilizar la sección transversal en lugar del diámetro exterior. Con lo que la altura límite a la que se interfieren las superficies de reparto es:

$$h_{r\lim.} = \frac{e_1 - a_1}{2 \cdot \text{tg } 35^\circ}$$

siendo:

$h_{r\lim.}$ = profundidad h_r a la que se interfieren varias cargas concentradas, próximas entre sí.

e_1 = distancia entre ejes de dos ruedas, en m.

a_1 = ancho de la huella de la rueda, en m.

Cuando actúan varias cargas concentradas, próximas entre sí, cuyas superficies de reparto a la profundidad h_r se interfieren, la cohesión de los rellenos permite, en general, considerarlas como una carga única cuya superficie de aplicación, al nivel del suelo es la envolvente de la superficie de reparto de las distintas cargas.

b) Cargas concentradas con efecto de impacto.

En este caso, los valores obtenidos para q_0 , han de mayorarse por un coeficiente de impacto igual a:

Para el tráfico carretero: $C_i = 1 + 0,3/h_r$

Para el tráfico ferroviario: $C_i = 1,4 - 0,1 (h_r - 0,5)^3 - 1,0$ (según UIC)

$$C_i = 1 + \frac{0,33v}{100} - 0,1 \times (h_r - 0,5)^3 - 1,0 \text{ (según RENFE)}$$

Donde:

h_r = altura de relleno de las tierras, en m.

v = velocidad en km/h con un valor máximo de 200 km/h

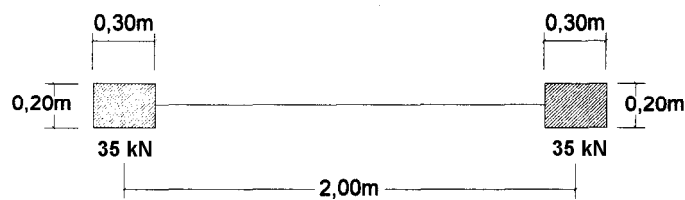
Para altura de relleno de tierras igual o superior a tres metros, $C_i = 1$.

Cargas producidas por el tráfico carretero.

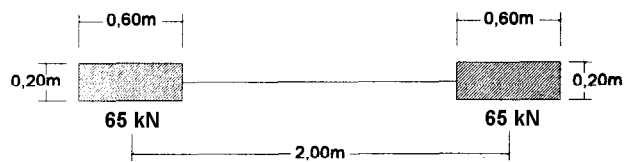
Aplicación a algunos casos de cargas:

- Eje de 70 kN
- Eje de 130 kN
- Vehículo de 600 kN

Los esquemas de cargas de cada uno de estos casos se indican a continuación

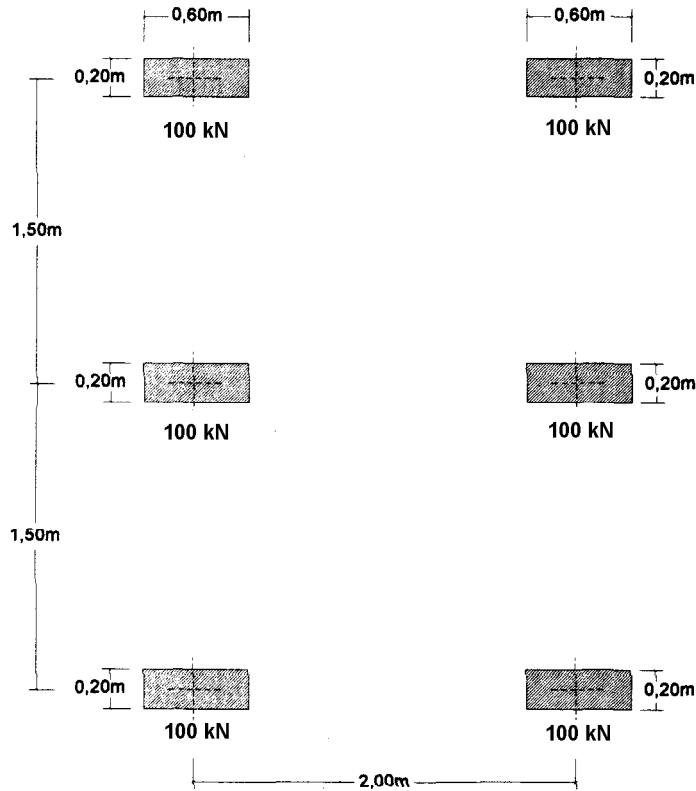


. Eje de 70 kN. Esquema de cargas.



Eje de 130 kN. Esquema de cargas.

- Vehículo de 600 kN (vehículo de tres ejes de la Instrucción de puentes de carreteras):



Vehículo de 600 kN. Esquema de cargas.

Las expresiones que dan, en estos casos, los valores de la presión vertical q_0 a la profundidad h_r , obtenidos considerando el caso de terraplén, y sin tener en cuenta el impacto, son las siguientes:

- Eje de 70 kN:

$$h_{r\text{lim}} = \frac{e_1 - a_2}{2 \cdot \text{tg } 35^\circ} = \frac{2 - 0,3}{1,4} = 1,21 \text{ m}$$

Para $h_r \leq 1,21 \text{ m}$,

$$q_0 = \frac{35}{1,54 \times h_r^2 + 0,7 \times h_r + 0,06} \text{ kN/m}^2$$

Para $h_r > 1,21 \text{ m}$,

$$q_0 = \frac{70}{1,54 \times h_r^2 + 3,5 \times h_r + 0,46} \text{ kN/m}^2$$

- Eje de 13 t:

$$h_{rlim.} = \frac{e_1 - a_2}{2 \times \operatorname{tg} 35^\circ} = \frac{2 - 0,6}{1,4} = 1,00 \text{ m}$$

Para $h_r \leq 1,00 \text{ m}$,

$$q_Q = \frac{65}{1,54 \times h_r^2 + 1,12 \times h_r + 0,12} \text{ kN / m}^2$$

Para $h_r > 1,00 \text{ m}$,

$$q_Q = \frac{130}{1,54 \times h_r^2 + 3,92 \times h_r + 0,52} \text{ kN / m}^2$$

- Vehículo de 600 kN (vehículo de tres ejes de la Instrucción de puentes de carreteras):

$$h_{rlim.} = \frac{e_2 - a_1}{2 \times \operatorname{tg} 35^\circ} = \frac{1,5 - 0,2}{1,4} = 0,93 \text{ m}$$

siendo:

e_2 : distancia entre ejes, en m

a_1 : ancho de la rueda, en m

y

$$h_{rlim.} = \frac{e_1 - a_2}{2 \cdot \operatorname{tg} 35^\circ} = \frac{2 - 0,6}{1,4} = 1,00 \text{ m}$$

Para $h_r \leq 0,93 \text{ m}$,

$$q_Q = \frac{100}{1,54 \times h_r^2 + 1,12 \times h_r + 0,12} \text{ kN / m}^2$$

Para $0,93 < h_r \leq 1,00 \text{ m}$,

$$q_Q = \frac{300}{1,54 \times h_r^2 + 5,32 \times h_r + 1,92} \text{ kN / m}^2$$

Para $h_r > 1,00 \text{ m}$,

$$q_Q = \frac{600}{1,54 \times h_r^2 + 8,12 \times h_r + 8,32} \text{ kN / m}^2$$

Ø Empuje lateral

La expresión del empuje lateral (fig. 21) es:

$$q_b = l \cdot g_r \left[h_5 + \frac{d_e}{2} (1 - \cos \beta) \right] \quad (kN/m^2)$$

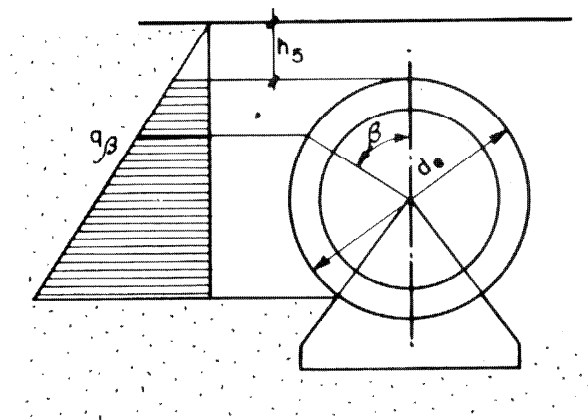


fig.-2 Empuje lateral

al producto $l \cdot g_r \cdot d_e$ en kN/m^2 .

Según se encuentre la tubería en zanja o terraplén, la expresión de la altura de tierras equivalente, h_5 , es:

a) En zanja:

$$h_5 = C_z \cdot h_r + \frac{q_0}{g_r \cdot d_e} \quad (m)$$

b) En terraplén:

$$h_5 = h_r + \frac{q_0}{g_r \cdot d_e} \quad (m)$$

A efectos prácticos de determinación de esfuerzos transversales, se denomina q_5

Ø Presión interna

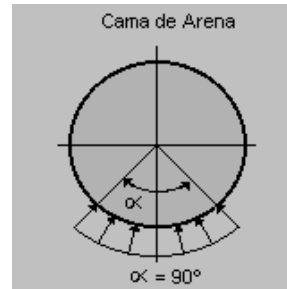
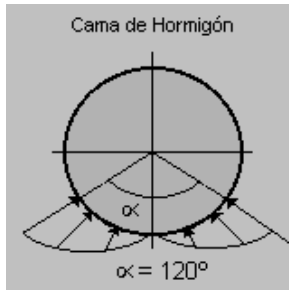
Se considera como presión interna la presión de diseño (DP), la presión máxima de trabajo (MDP), o la presión de prueba en zanja (STP) en función de la hipótesis de cálculo considerada.

- Determinación de esfuerzos transversales.

Como esquema estructural, se asimila la sección transversal del tubo a un arco elástico. Se considera media sección transversal del tubo, supuesta empotrada en la base y con empotramiento deslizante en la clave.

Los esfuerzos transversales producidos por cada una de las acciones que actúan sobre el tubo, se obtienen por superposición de dos estados: el de esa acción y el de su reacción sobre el

apoyo.



Para la obtención de los esfuerzos en clave, riñones y solera debidos a las acciones ovalizantes, se incluyen a continuación los cuadros I y II que permiten obtener los momentos flectores y los esfuerzos axiales en función del tipo de apoyo y de la relación espesor/diámetro interior.

La presión interna produce un esfuerzo axial de tracción. Para el cálculo de dicho esfuerzo, se admite, como simplificación, utilizar la expresión correspondiente a los tubos de pared delgada.

$$N = 0,5 \times MPD \times d_i \quad (N / mm)$$

CUADRO I
Momentos flectores transversales

$k = d_e / d_m$	PESO DEL FLUIDO		CARGAS VERTICALES		EMPUJE LATERAL
	PESO PROPIO	Cargas de tímpanos	Cargas sobre clave		
	$M_1 = k_1 q_1 d_m$	$M_2 = k_2 q_2 d_m$	$M_3 = k_3 q_3 d_m$	$M_4 = k_4 q_4 d_m$	$M_5 = k_5 q_5 d_m$
	k_1	k_2	k_3	k_4	k_5
Apoyo	Clave	0,03151	- 0,02934 k + 0,06453	- 0,04069 k + 0,10727	$h_5 (- 0,11490 + 0,053369 k) + d_e (+ 0,01275 k - 0,03764)$
Granular	Riñones	- 0,03662	0,06323 k - 0,11759	0,03125 k - 0,09912	$h_5 (+ 0,11364 - 0,05255 k) + d_e (- 0,02214 k + 0,05213)$
a = 90°	Base	0,04169	-0,03836 k + 0,09671	- 0,02179 k + 0,09092	$h_5 (- 0,08459 + 0,02870 k) + d_e (+ 0,00978 k - 0,04024)$
Apoyo de	Clave	0,01551	-0,02934 k + 0,04853	- 0,04069 k + 0,09127	$h_5 (- 0,10496 + 0,04707 k) + d_e (+ 0,00743 k - 0,02967)$
Hormigón	Riñones	-0,01777	0,06323 k - 0,09874	0,03125 k - 0,08027	$h_5 (+ 0,10056 - 0,04347 k) + d_e (- 0,01486 k + 0,04167)$
a = 120°	Base	- 0,01143	- 0,03836 k + 0,04359	- 0,02179 k + 0,03780	$h_5 (- 0,06892 + 0,02224 k) + d_e (+ 0,00453 k - 0,02762)$

$M = M_1 + M_2 + M_3 + M_4 + M_5$; $q_4 = q_r + C_i q_0$; $q_5 = l \cdot g \cdot d_e$
M positivo produce tracciones en la fibra interior. Las unidades son: m y kN

CUADRO II
Esfuerzos axiles transversales

k = d _e / d _m	PESO PROPIO N ₁ = k ₁ q ₁ k ₁	PESO DEL FLUIDO N ₂ = k ₂ q ₂ k ₂	CARGAS VERTICALES		EMPUJE LATERAL
			Cargas de tímpanos N ₃ = k ₃ q ₃ k ₃	Cargas sobre clave N ₄ = k ₄ q ₄ k ₄	
Apoyo	Clave	0,20458	0,20316 k - 0,13573	0,10610 k - 0,08720	N ₅ = k ₅ q ₅ k ₅
Granular a = 90°	Riñones	0,06830	- 0,50000	- 0,50000	h ₅ (- 0,45709 - 0,03751 k) + d _e (+ 0,02812 k - 0,17954)
	Base	0,22493	- 0,20316 k - 0,07137	- 0,10610 k - 0,11990	0
Apoyo de	Clave	0,13488	0,20316 k - 0,20543	0,10610 k - 0,15690	h ₅ (- 0,39646 + 0,03751 k) + d _e (- 0,02812 k - 0,18470)
	Riñones	0,06830	- 0,50000	- 0,50000	h ₅ (- 0,41104 - 0,06892 k) + d _e (+ 0,00290 k - 0,14267)
Hormigón a = 120°	Riñones	0,06830	- 0,50000	- 0,50000	0
	Base	0,08098	- 0,20316 k - 0,21532	- 0,10610 k - 0,26385	h ₅ (- 0,33896 + 0,06892 k) + d _e (- 0,00290 k - 0,13858)

N = N_{ov} + N₆ Donde: N_{ov} = N₁ + N₂ + N₃ + N₄ + N₅; N₆ = 0.5 · P_t · d_i; q₄ = q_r + C_i q₀; q₅ = l · g · d_e
N positivo produce tracciones. Las unidades son: m y kN, excepto en el caso de P_t que se da en MPa.

DIMENSIONAMIENTO DE LOS TUBOS

· TUBOS DE HORMIGÓN POSTESADO.

Para el dimensionamiento de la tubería de hormigón postesado, se utilizan las fórmulas de Lamé, que asimilan el tubo postesado a tres capas cilíndricas, coaxiales y adherentes (núcleo homogeneizado, espiras de pretensado y revestimiento) estudiando las tensiones en el hormigón y en el acero de pretensar en cada una de las siguientes condiciones:

- Presión de diseño (DP) + cargas fijas: el núcleo estará sometido a una compresión igual o superior a 0,5 MPa;
- Presión máxima de diseño (MDP) + 0,1 MPa + cargas fijas: la tensión en el núcleo no excederá de $f_{ct,k} = 0,21 \sqrt[3]{f_{ck}^2}$;
- Presión de diseño (DP) + cargas fijas + cargas móviles: no existirá tracciones en el núcleo;
- Presión máxima de diseño (MDP): el núcleo estará sometido a una compresión igual o superior a 0,5 MPa;
- Presión de prueba en fábrica (PP): el núcleo estará sometido a una compresión igual o superior a 0,5 MPa;
- Presión de prueba de red + cargas fijas de 1 metro de tierra sobre clave: el núcleo estará sometido a una compresión igual o superior a 0,5 MPa;
- Cargas fijas + cargas móviles, sin presión: el núcleo estará sometido a una compresión igual o superior a 0,5 MPa;

Además los tubos postesados se dimensionan para que, en cualquiera de sus secciones, se cumplan, una vez que han tenido lugar todas la pérdidas, las condiciones siguientes:

- La tensión en el alambre de pretensar no supere su tensión de zunchado.

- El hormigón del revestimiento no esté sometido a una tracción superior a la máxima admisible, $f_{ct,k}$.

En el proceso de zunchado del núcleo se tendrán en cuenta, además, las condiciones siguientes:

- Que durante el zunchado, la tensión del alambre no supere el $0,80 f_{max,k}$
- Que inmediatamente después de terminado el zunchado, la fuerza de tesado proporcione a las armaduras activas una tensión no mayor que $0,75 f_{max,k}$
- Que la compresión del hormigón del primario no supere el 0,55 de la resistencia característica a compresión del hormigón en ese momento.
- Que en la chapa no se supere el $0,80 f_{yk}$
- Que la tracción longitudinal transitoria, producida durante el postesado transversal, y que no es absorbida por la resistencia admisible del hormigón del núcleo, lo sea mediante la chapa.

En el estado final de postesado, y a efectos de cálculo, se cumplirá además:

- Que el valor característico final de postesado adoptado (el obtenido una vez deducidas todas las pérdidas) no sea superior al que corresponde a una tensión en las armaduras activas igual a $0,60 f_{max,k}$.
- Que la compresión del hormigón no supere el 60% de f_{ck} después de pérdidas, sin presión interior y con carga de tierras.

En este proceso de cálculo se parte de una sección prefijada de alambre de postensado y de unas características geométricas y materiales del tubo, que con las correspondientes sollicitaciones de ovalización y de pretensado, permiten obtener su presión máxima de trabajo.

Coefficientes de equivalencia:

$$n_i = \frac{E_s}{E_{ci}} ; n = \frac{E_s}{E_c} ; n_1 = \frac{E_s}{E_r} ; n_2 = \frac{E_r}{E_c}$$

Coefficientes de Lamé:

$$A = \frac{2r^2}{r_{co}^2 - r^2} ; B = A + 1 ; C = A + 2$$

$$A_r = \frac{2r_{co}^2}{r_{ro}^2 - r_{co}^2} ; B_r = A_r + 1 ; B_s = \frac{r_c}{w}$$

$$k = \frac{B}{B_r}$$

$$D = n_2 \times B (B_s + n_1 \times B_r) + B_r \times B_s$$

Características geométricas:

$$s_{ro} = (r_c - r) + (n - 1) \times s_{ch} + (n - n_2) \times w + n_2 (r_r - r_c)$$

$$y_e = r_c - r - y_i$$

$$y_i = \frac{(r_c - r)^2}{2s_{ro}} + \frac{(n - 1) \times s_{ch} (r_{ch} - r)}{s_{ro}} + \frac{(n - n_2) \times w (r_c - r)}{s_{ro}} + \frac{n_2 (r_r - r_c) (r_r + r_c - 2r)}{2s_{ro}}$$

$$y_r = r_r - r_c + y_e$$

$$I_o = \frac{I}{12} (r_c - r)^3 + (r_c - r) \frac{\pi}{e} y_i - \frac{r_c - r}{2} \frac{\pi^2}{\phi} +$$

$$+ (n - 1) s_{ch} (r + y_i - r_{ch})^2 + (n - n_2) \pi y_e^2 +$$

$$+ \frac{I}{12} n_2 (r_r - r_c)^3 + n_2 (r_r - r_c) \frac{\pi}{e} \frac{r_r - r_c}{2} + y_e \frac{\pi^2}{\phi}$$

$$r_{co} = r_c + (n - 1) s_{ch}$$

$$r_{ro} = r_r + (n - 1) s_{ch}$$

Características de los materiales:

Como valores orientativos se pueden considerar los siguientes:

- Resistencias características a compresión y módulos de elasticidad, del hormigón del núcleo y del revestimiento.

$f_{ck(\text{núcleo})}$	=	45 N/mm ²
E_{ci}	=	30.000 N/mm ²
E_c	=	40.000 N/mm ²
$f_{ck(\text{revest})}$	=	35 N/mm ²
E_r	=	35.000 N/mm ²

- Tensión de rotura o tracción y módulo de elasticidad, del alambre de acero:

$f_{\max,k}$	=	1.800 N/mm ²
E_s	=	200.000 N/mm ²

- Relajación final de los alambres de acero, a mil horas, al ser tesados al 70% de la carga de rotura, a 20°C:

a	=	2 %
-----	---	-----

- Límite elástico característico y módulo de elasticidad, de la chapa:

f_{yk}	=	240 N/mm ²
E_s	=	210.000 N/mm ²

- Deformación por retracción, del hormigón del núcleo y del revestimiento:

$$\hat{\epsilon}_c = - 0,0002$$

$$\hat{\epsilon}_r = - 0,0003$$

- Coeficientes de fluencia del hormigón del núcleo y del revestimiento:

$$j_c = 1,50$$

$$j_r = 0,75$$

Postensado transversal:

Tensiones producidas inmediatamente después del zunchado:

$$D's_s = \frac{n_i \times S_s}{4 \times B_s} \times \frac{r_c + r}{r_c - r}$$

$$s'_s = s_s - D's_s$$

$$s'_{ci} = - \frac{C \times w \times s'_s}{r_c}$$

$$s'_{ce} = - \frac{B \times w \times s'_s}{r_c}$$

Tensiones finales debidas al postensado:

$$D''_0 s_s = \frac{a}{100} s_s$$

$$s''_s = s'_s - D''_0 s_s$$

$$D''s_s = 2 \frac{n j_c w B s''_s (1+j_r) - E_s e_c (1+j_r) r_c - E_s e_r n_2 k r_c}{2 r_c (1+j_r + n_2 k) + n w B (1+j_r) (2+j_c)}$$

$$t_1 = \frac{E_s \cdot e_r + D''s_s}{n_1 \cdot B_r (1+j_r)}$$

$$D's_s = D'_0 s_s - 2 \frac{D''s_s \ddot{\delta}}{s_s \ddot{\delta}}$$

$$s'''_s = s_s - (D's_s + D''s_s + D'''s_s) \neq 0,6 f_{max,k}$$

$$s'''_{ci} = -C \frac{w \cdot s'''_s}{e r_c} - t_1 \ddot{\delta}$$

$$s'''_{ce} = -B \frac{w \cdot s'''_s}{e r_c} - t_1 \ddot{\delta}$$

$$s'''_{ri} = -t_1 \cdot B_r$$

$$s'''_{re} = -t_1 \cdot A_r$$

Tensiones producidas por los esfuerzos de ovalización:

$$s_{s,ov} = \frac{n \cdot N_{ov}}{s_{ro}} - \frac{n \cdot M \cdot y_e}{I_0}, \text{ en } N/mm^2$$

$$s_{ci,ov} = \frac{N_{ov}}{s_{ro}} + \frac{M \cdot y_i}{I_0}, \text{ en } N/mm^2$$

$$s_{ce,ov} = \frac{N_{ov}}{s_{ro}} - \frac{M \cdot y_e}{I_0}, \text{ en } N/mm^2$$

$$s_{ri,ov} = \frac{n_2 \cdot N_{ov}}{s_{ro}} - \frac{n_2 \cdot M \cdot y_e}{I_0}, \text{ en } N/mm^2$$

$$s_{re,ov} = \frac{n_2 \cdot N_{ov}}{s_{ro}} - \frac{n^2 \times M \times y_r}{I_0}, \text{ en } N/mm^2$$

Tensiones producidas por la presión máxima de trabajo (MDP en MPa)

$$s_{s,p} = \frac{B_s \times n_2 \times A}{D} \times n_1 \times B_r \times MDP \quad \text{en } N/mm^2$$

$$s_{ci,p} = B \times P_t - \frac{C \times n_2 \times A}{D} \times (B_s + n_1 \times B_r) \times MDP \quad \text{en } N/mm^2$$

$$s_{ce,p} = A \times P_t - \frac{B \times n_2 \times A}{D} \times (B_s + n_1 \times B_r) \times MDP \quad \text{en } N/mm^2$$

$$s_{ri,p} = \frac{B_r \times n_2 \times A}{D} \times B_s \times MDP \quad \text{en } N/mm^2$$

$$s_{re,p} = \frac{A_r \times n_2 \times A}{D} \times B_s \times MDP \quad \text{en } N/mm^2$$

Tensiones en la hipótesis pésima de carga.

Tanto para las secciones de máximo momento positivo como para las de máximo momento negativo, se obtendrán las siguientes tensiones.

$$s_{s,t} = s_s^m + s_{s,ov} + s_{s,p}$$

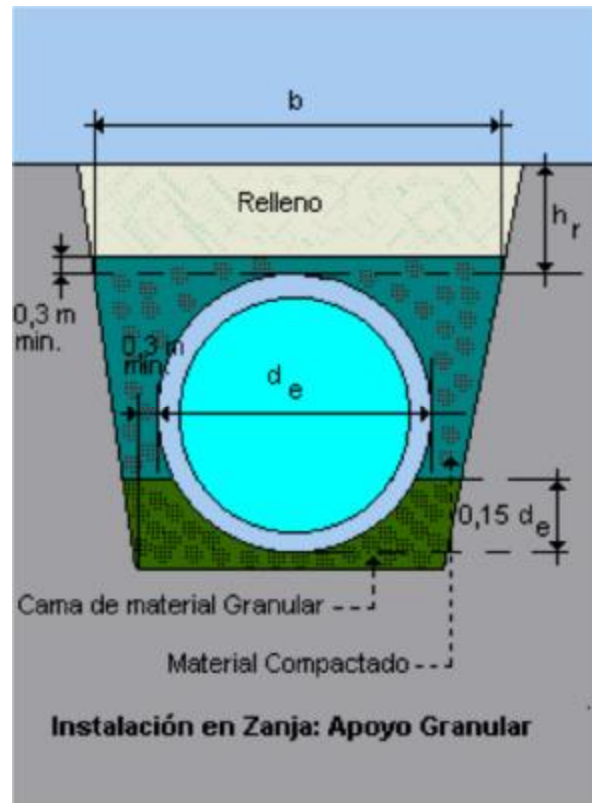
$$S_{ce.t} = S_{ce}''' + S_{ce.ov} + S_{ce.p}$$

$$S_{ci.t} = S_{ci}''' + S_{ci.ov} + S_{ci.p}$$

$$S_{ri.t} = S_{ri}''' + S_{ri.ov} + S_{ri.p}$$

$$S_{re.t} = S_{re}''' + S_{re.ov} + S_{re.p}$$

Para el caso concreto de los tubos para el Proyecto Red de Riego de la Modernización de Canal de Campillo de Buitrago en Soria, se deben adoptar las siguientes hipótesis de cálculo:



- Método de Cálculo: Instrucción del Instituto Eduardo Torroja para tubos de hormigón armado o pretensado de septiembre del 2007.

- Tipo de colocación:

Todos los diámetros: zanja con relleno compactado.

- Apoyo mínimo Granular a 90° .

- Sobrecarga de tráfico correspondiente al eje de 13 tn

- Condiciones prueba en zanja:

• Presión prueba en zanja (STP) = MDP + 1 atm.

• Altura de relleno:

Hipótesis 1: 1 a 3 mts

Hipótesis 2: 4,5 mts

- Casos considerados:

Ø (mm)	DP (atm)	MDP (atm)	STP (atm)	Trafico	Zanja	HT (m)
1600	8	10	11	Eje de 13 tn	Compactada	1 < HT < 3
1600	8	10	11	Eje de 13 tn	Compactada	4,5
1500	8	10	11	Eje de 13 tn	Compactada	1 < HT < 3
1500	8	10	11	Eje de 13 tn	Compactada	4,5
1400	8	10	11	Eje de 13 tn	Compactada	1 < HT < 3
1400	8	10	11	Eje de 13 tn	Compactada	4,5
1300	8	10	11	Eje de 13 tn	Compactada	1 < HT < 3
1300	8	10	11	Eje de 13 tn	Compactada	4,5
1200	8	10	11	Eje de 13 tn	Compactada	1 < HT < 3
1200	8	10	11	Eje de 13 tn	Compactada	4,5
1100	8	10	11	Eje de 13 tn	Compactada	1 < HT < 3
1100	8	10	11	Eje de 13 tn	Compactada	4,5
1000	8	10	11	Eje de 13 tn	Compactada	1 < HT < 3
1000	8	10	11	Eje de 13 tn	Compactada	4,5
900	8	10	11	Eje de 13 tn	Compactada	1 < HT < 3
900	8	10	11	Eje de 13 tn	Compactada	4,5
800	8	10	11	Eje de 13 tn	Compactada	1 < HT < 3
800	8	10	11	Eje de 13 tn	Compactada	4,5
700	8	10	11	Eje de 13 tn	Compactada	4,5

Ancho de Zanja: según secciones tipo adjuntas.

DP: Presión máxima de funcionamiento en régimen permanente, pero excluyendo el golpe de ariete.

MDP: Presión máxima de funcionamiento en régimen permanente incluyendo el golpe de ariete.

STP: Presión de prueba en zanja.

Las condiciones de los materiales aparecen en los listados de cálculo y son las siguientes:

q HORMIGÓN:

o Núcleo:

§ Resistencia característica a compresión: 45 N/mm²

§ Tipo de cemento: I 42.5 R/SR ó I 52,5 N/SR

o Revestido:

§ Resistencia característica a compresión: 35 N/mm²

§ Tipo de cemento: I 42.5 R/SR

q ACERO DE PRETENSAR:

§ Tensión de rotura: 1.800 N/mm²

q ACERO EN CHAPA Y PLETINAS

§ Calidad: S 235 JR o similar.

§ Espesor de la camisa de chapa: 1.5 mm.

§ Espesor mínimo boquillas: 6 mm. (comprobar según presión de trabajo y diámetro)

CUADRO DE CARACTERISTICAS

CUADRO DE CARACTERISTICAS DE LA TUBERÍA	Revisión 0 Fecha 30/08/2021 Hoja 1 de 1
--	---

OBRA: Modernización de Canal de Campillo de Buitrago (Soria)
CLIENTE: SEIASA

TUBERÍA: HORMIGÓN POSTESADO CON CAMISA DE CHAPA
--

HIPOTESIS:
<ul style="list-style-type: none"> - Tipo de colocación: ZANJA RELLENO COMPACTADO - Tipo de apoyo GRANULAR 90° - Altura de tierras sobre la generatriz superior del tubo entre 1 y 3 mts y 4,5 mts - Sobrecarga de tráfico: Eje de 13 ton - Presión Máxima de Trabajo 10 atm

DIAM (mm)	DP/MDP/STP (atm)	ESPE (mm)	REC. INTER (mm)	REC. EXTER (mm)	CABEZ. HEMBRA (mm)	CABEZ. MACHO goma	ESPE CHAPA (mm)	ARMAD. EXTER.
1600	8/10/11	130	100	30	225	M-23	1.5	(*) Calculo según Inst. I.E. Torroja
1500	8/10/11	125	95	30	160	M-20	1.5	(*) Calculo según Inst. I.E. Torroja
1400	8/10/11	120	90	30	160	M-20	1.5	(*) Calculo según Inst. I.E. Torroja
1300	8/10/11	115	85	30	160	M-20	1.5	(*) Calculo según Inst. I.E. Torroja
1200	8/10/11	105	75	30	160	M-20	1.5	(*) Calculo según Inst. I.E. Torroja
1100	8/10/11	100	70	30	160	M-20	1.5	(*) Calculo según Inst. I.E. Torroja
1000	8/10/11	95	65	30	160	M-20	1.5	(*) Calculo según Inst. I.E. Torroja
900	8/10/11	90	60	30	160	M-20	1.5	(*) Calculo según Inst. I.E. Torroja
800	8/10/11	82	52	30	160	M-20	1.5	(*) Calculo según Inst. I.E. Torroja
700	8/10/11	90	60	30	125	M-16	1.5	(*) Calculo según Inst. I.E. Torroja

(*) Proveedor deberá justificar el cálculo con las hipótesis definidas.

CARACTERISTICAS DE LOS MATERIALES

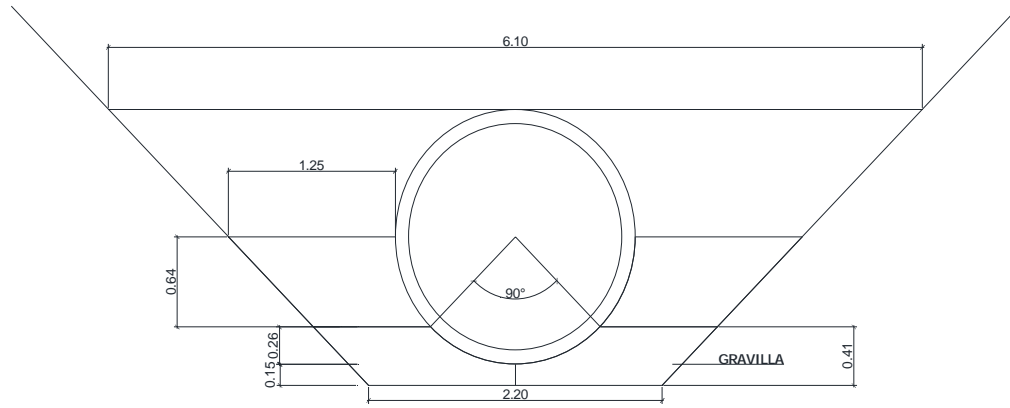
Chapa: Calidad: S 235 JR

Acero de pretensar: Tensión de rotura 18000 Kg/cm²

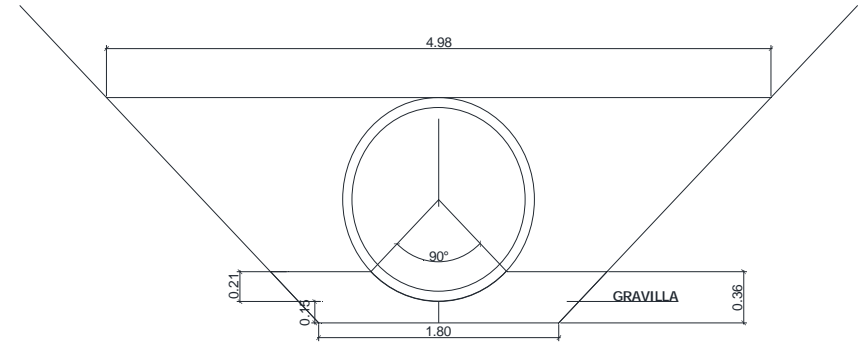
Hormigón	Resistencia característica a compresión	
	Hormigón del Núcleo:	450 kg/cm ²
	Hormigón del Revestimiento:	350 kg/cm ²
	Tipo de cemento	Núcleo I 42.5 R/SR ó I 52.5 N/SR Revestido I 42.5 R/SR

SECCIONES ANCHO DE ZANJA

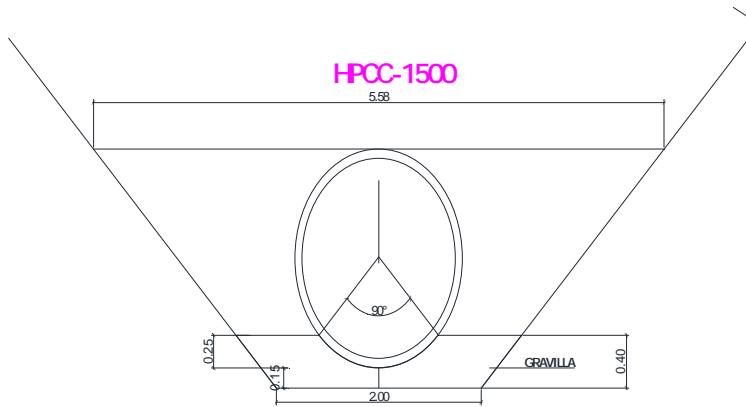
HPCC-1600



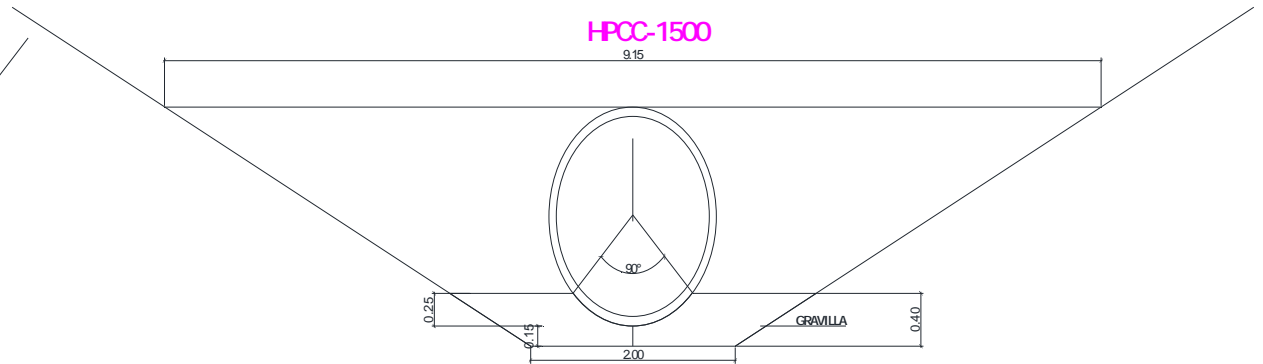
HPCC-1300

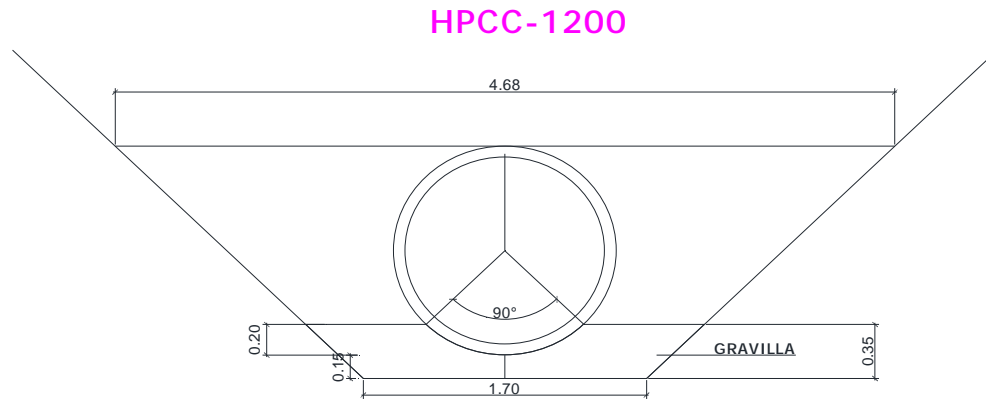
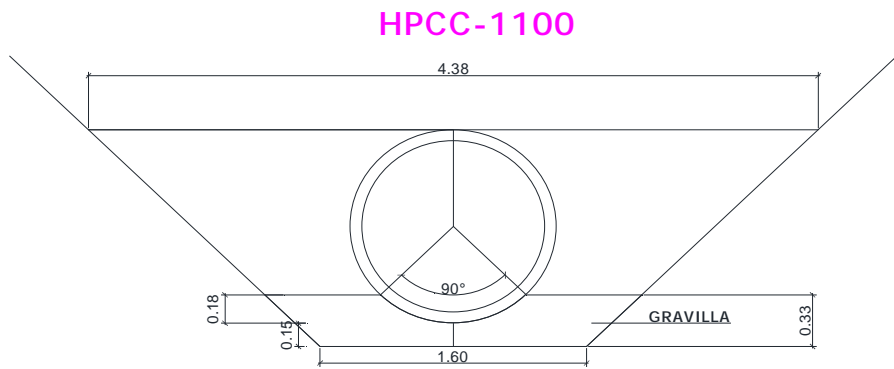
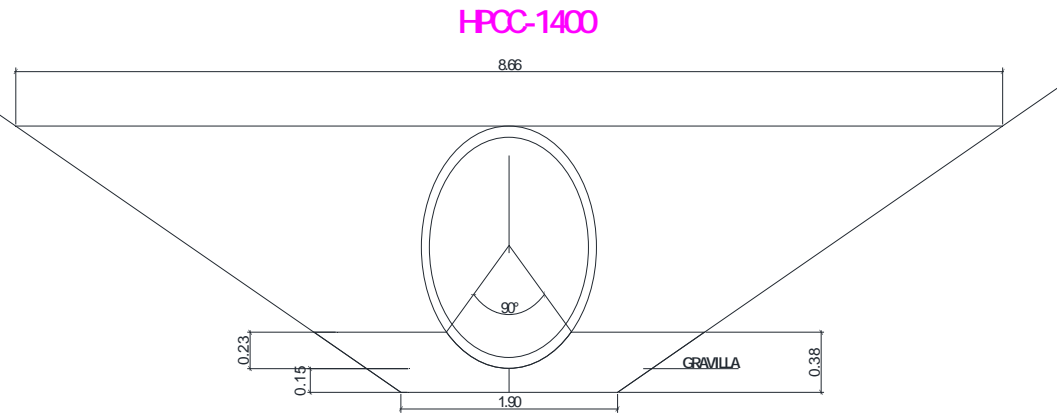
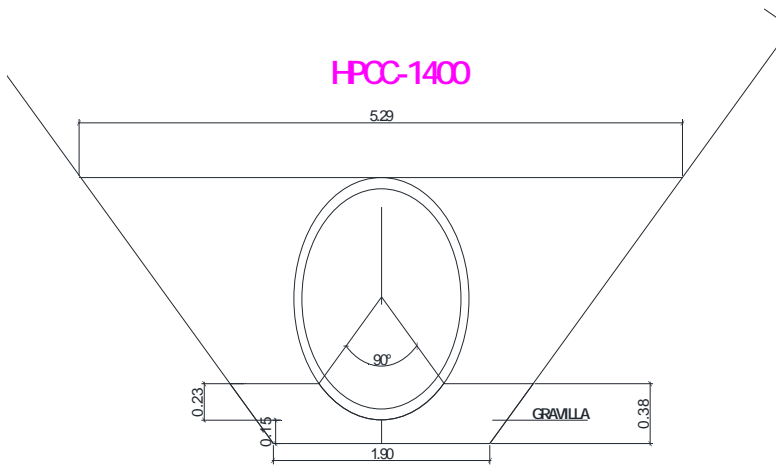


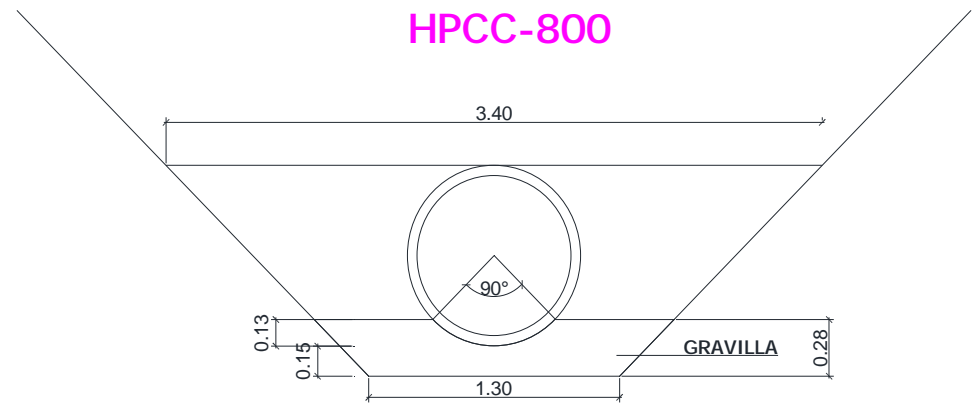
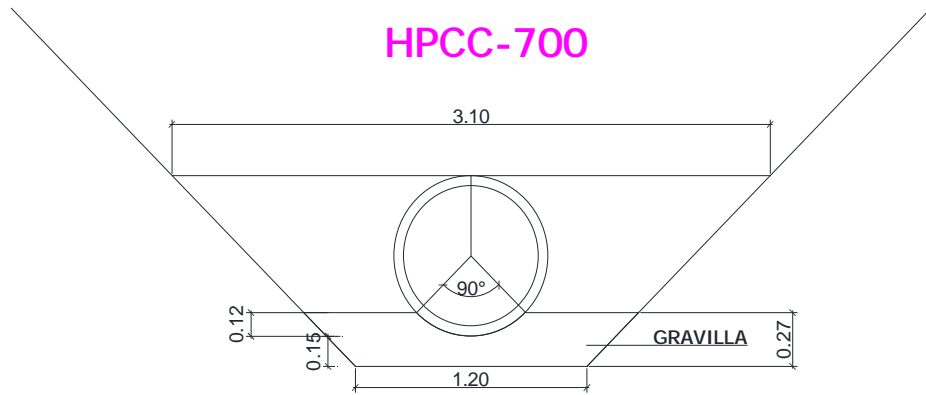
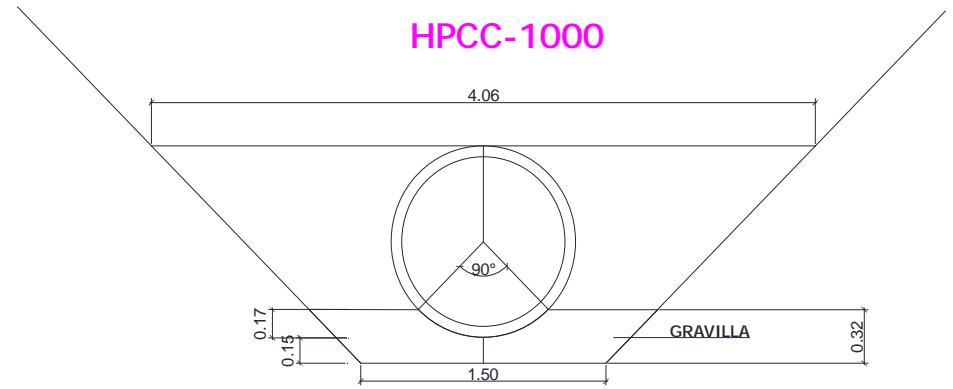
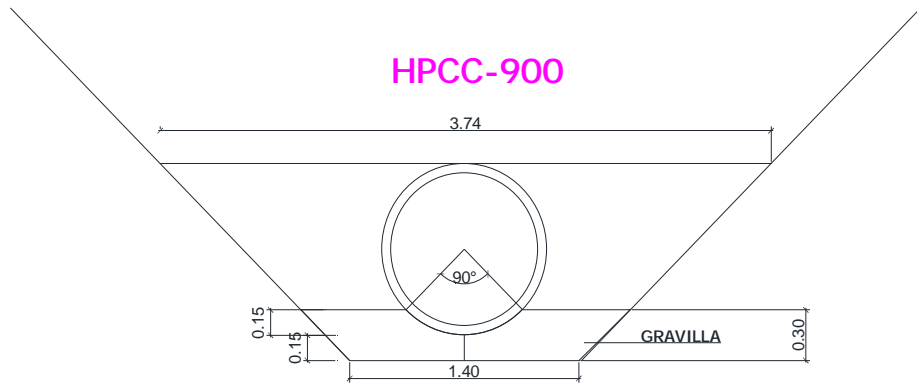
HPCC-1500



HPCC-1500







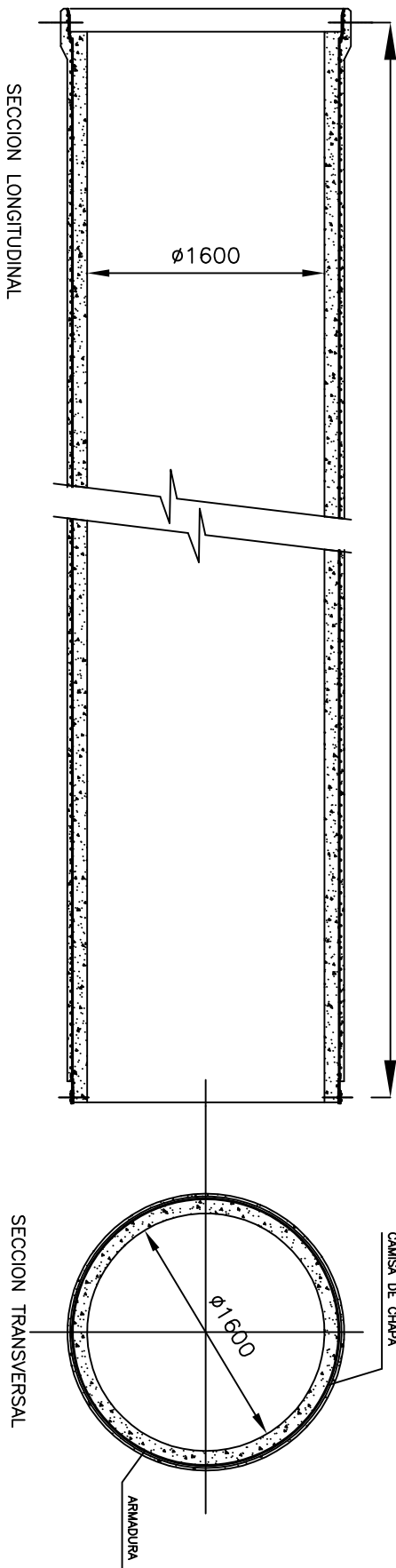
PLANO



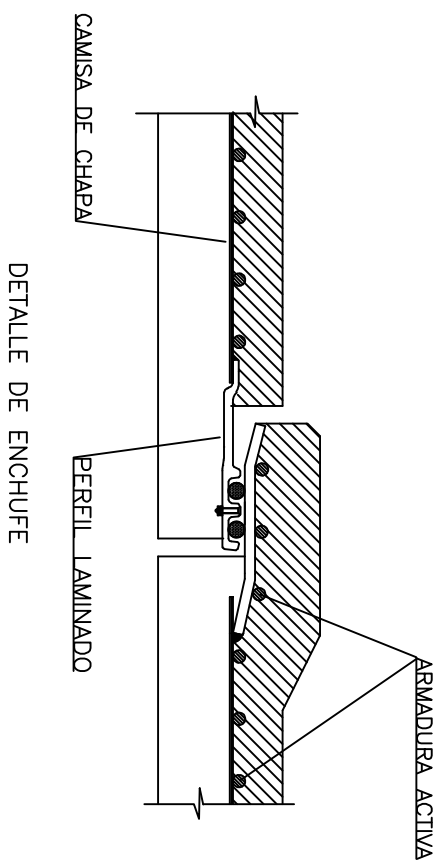
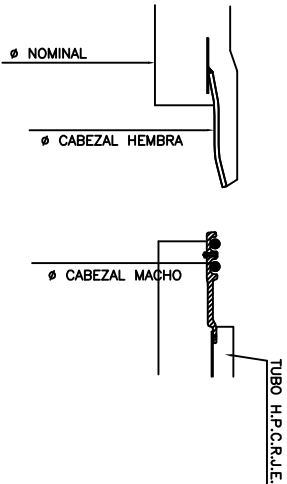
DIT N° 445

GEOMETRIA DE TUBO DIAM 1500 mm. DETALLE DE ENCHUFE

5940



DIAM. NOMINAL	DIAM. CABEZAL HEMBRA	DIAM. CABEZAL MACHO
1600 mm	1817 mm. +/- 3 mm.	1814 mm. +/- 3 mm.



CARACTERÍSTICAS DE LOS MATERIALES

Chapa	Acero Tipo: S 235 JR	
Acero de pretensar	Tensión de rotura = 18000 kg/cm ²	
Hormigón	Resistencia caract. a compresión	450 kg/cm ²
	Hormigón del Núcleo :	350 kg/cm ²
Hormigón	Hormigón del revestimiento :	350 kg/cm ²
	Tipo de cemento	Hormigón del Núcleo: / 42.5 R/SR Hormigón del Revestimiento: / 42.5 R/SR

TOLERANCIAS:

- Diámetro interior del tubo: +/- 1%, sin exceder de 15 mm.
- Espesor del tubo: +/- 5%
- Ovalización del tubo en zona de juntas: +/- 0.5%
- Longitud del tubo: +/- 1%

COTAS EN MM

FECHA		MODIFICACIONES		COTAS EN MM	
ED.		DIBUJADO		VERIFICADO	
FECHA		D.		APROBADO	
MAR-21		PUERTA		J. P. GUERRERO	
01		D.		J. P. GUERRERO	
ED.		DIBUJADO		VERIFICADO	
FECHA		D.		APROBADO	
MAR-21		PUERTA		J. P. GUERRERO	
01		D.		J. P. GUERRERO	
<p>PROYECTO TUBERIA HORMIGON POSTTENSADO CAMISA REVESTIDA Y JUNTA DOBLE ELASTICA</p> <p>PLANO N° 1</p> <p>TITULO DN2000 GEOMETRIA DE TUBO DN1600. DETALLE DE ENCHUFE</p> <p>ESCALA S/E</p>					
MOTIVO DE LA EDICION					

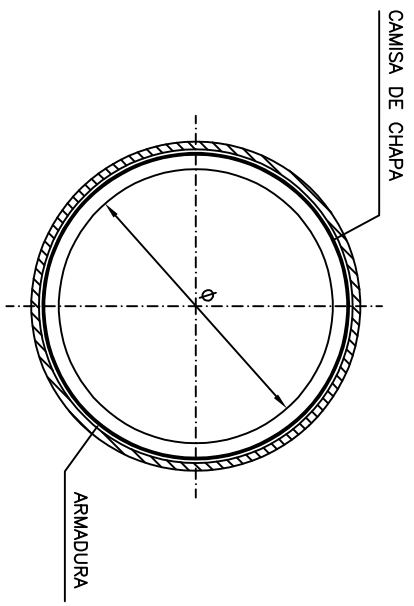
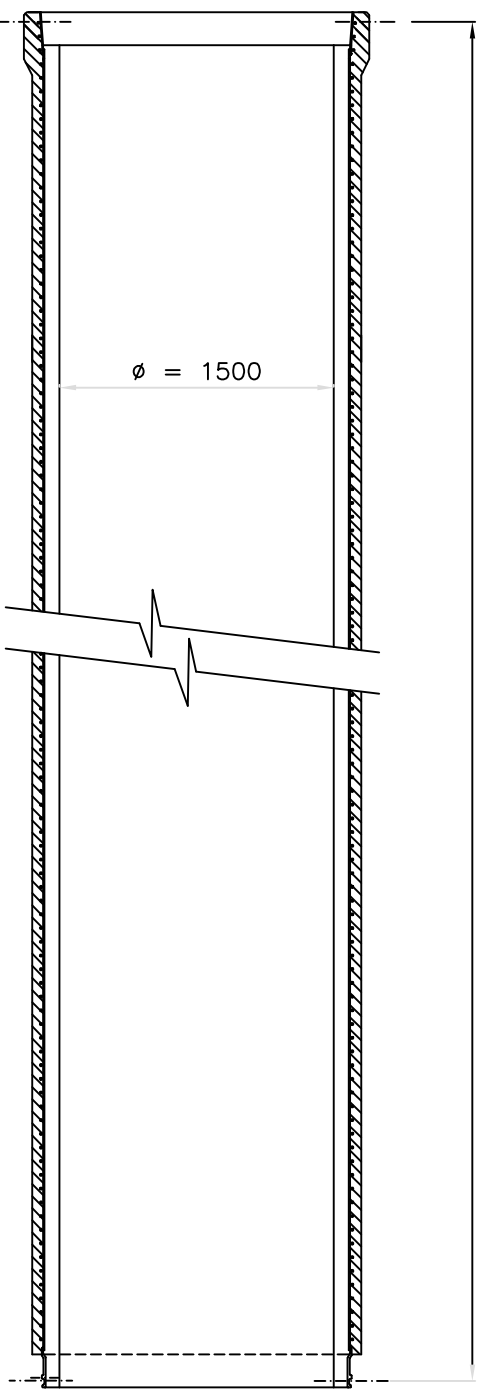


GEOMETRIA DE TUBO. DETALLE DE ENCHUFE



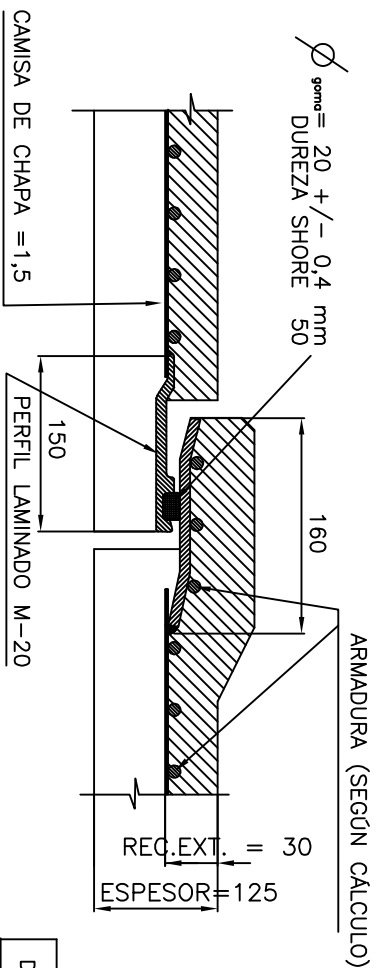
DIT N° 445

LONGITUD = 6000



SECCION LONGITUDINAL

SECCION TRANSVERSAL



DETALLE DE ENCHUFE

DIAM. NOMINAL	DIAM. CABEZAL HEMBRA	DIAM. CABEZAL MACHO
1500 mm	1707 mm.	1704 mm.

CARACTERISTICAS DE LOS MATERIALES

Chapa	Acero Tipo: S 235 JR	
Acero de pretensar	Tension de rotura = 18000 kg/cm ²	
Hormigon	Resistencia caract. a compresion	450 kg/cm ²
	Hormigon del Nucleo :	350 kg/cm ²
	Hormigon del revestimiento :	1 52.5 N/SR
	Tipo de cemento	6 1 42.5 R/SR
	Hormigon del Nucleo:	1 42.5 R/SR
	Hormigon del Revestimiento:	1 42.5 R/SR

TOLERANCIAS:

- Diametro interior del tubo: +/- 1%, sin exceder de 15 mm.
- Espesor del tubo: +/- 5%
- Ovalizacion del tubo en zona de juntas: +/- 0.5%
- Longitud del tubo: +/- 1%

COTAS EN MM

MODIFICACIONES

FECHA	
FECHA	



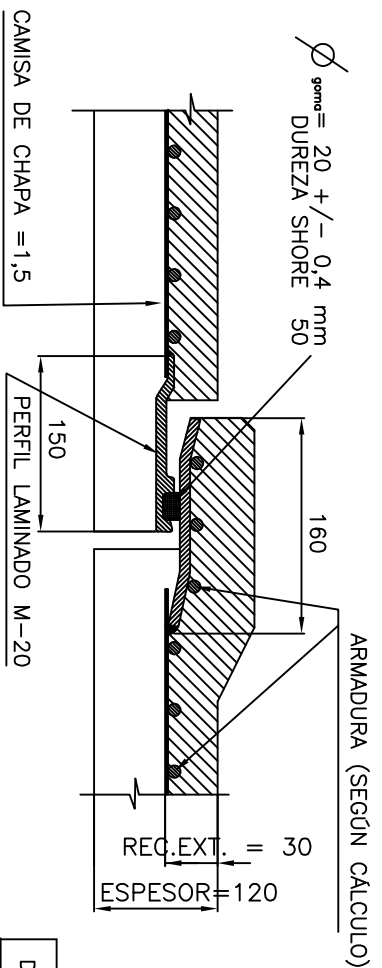
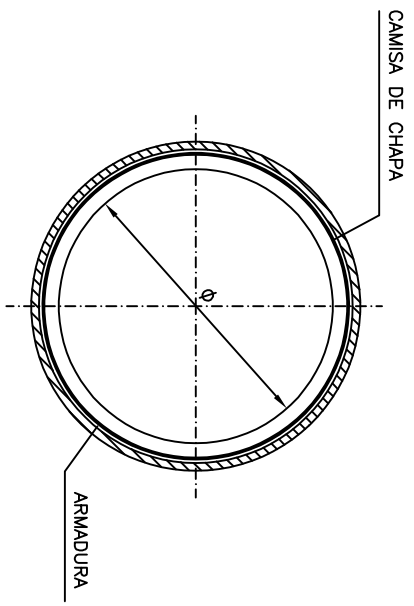
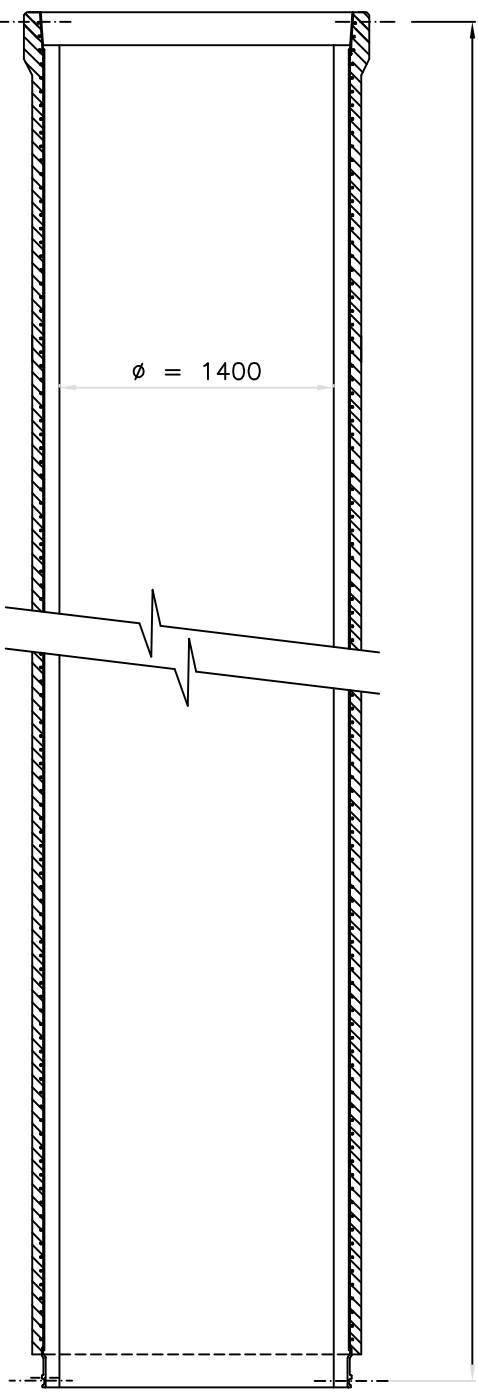
PROYECTO	THPCCE DN1500
PLANO N°	1
TITULO	GEOMETRIA DE TUBO POSTESADO. DETALLE DE ENCHUFE

FECHA	DIBUJADO	COMPROBADO	VERIFICADO	APROBADO	NOTA DE LA EDICION
01	J. P. CUERRERO				

GEOMETRIA DE TUBO. DETALLE DE ENCHUFE



DIT N° 445



DIAM. NOMINAL	DIAM. CABEZAL HEMBRA	DIAM. CABEZAL MACHO
1400 mm	1597 mm.	1594 mm.

CARACTERISTICAS DE LOS MATERIALES		
Chapa	Acero Tipo: S 235 JR	
Acero de pretensar	Tension de rotura = 18000 kg/cm ²	
Hormigon	Resistencia caract. a compresion	450 kg/cm ²
	Hormigon del Nucleo :	350 kg/cm ²
	Hormigon del revestimiento :	1 52.5 N/SR 6 1 42.5 R/SR
	Tipo de cemento	6 1 42.5 R/SR
	Hormigon del Nucleo:	1 42.5 R/SR
	Hormigon del Revestimiento:	1 42.5 R/SR

TOLERANCIAS:

- Diametro interior del tubo: +/- 1%, sin exceder de 15 mm.
- Espesor del tubo: +/- 5%
- Ovalizacion del tubo en zona de juntas: +/- 0.5%
- Longitud del tubo: +/- 1%

COTAS EN MM

FECHA	MODIFICACIONES

Delta Prefabricados

PROYECTO **THPCCE DN1400**

PLANO N° **1** ESCALA **S/E**

TITULO **GEOMETRIA DE TUBO POSTESADO. DETALLE DE ENCHUFE**

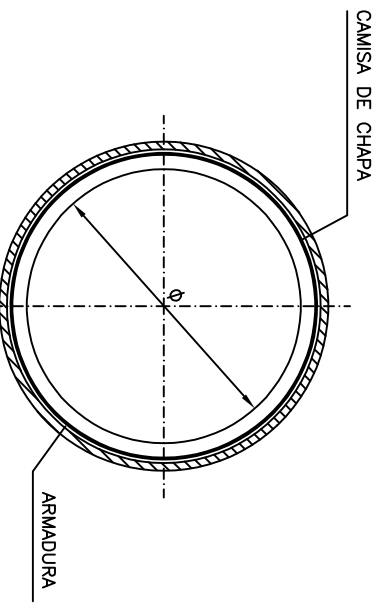
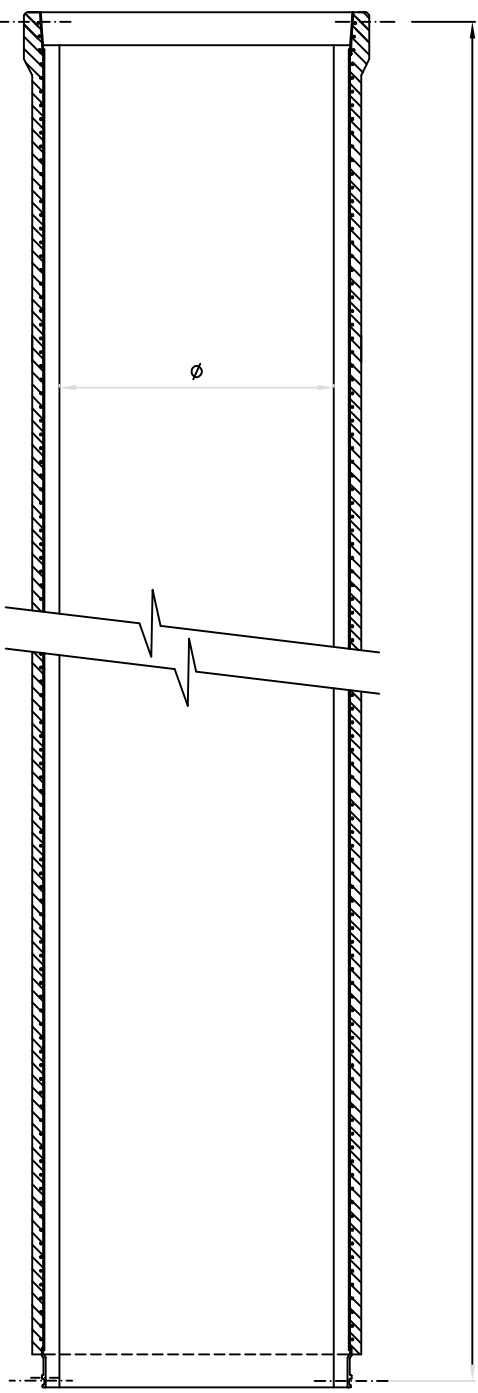
FECHA	DIBUJADO	COMPROBADO	VERIFICADO	APROBADO	MOTIVO DE LA EDICION
01	J. P. CUERRERO				

GEOMETRIA DE TUBO. DETALLE DE ENCHUFE



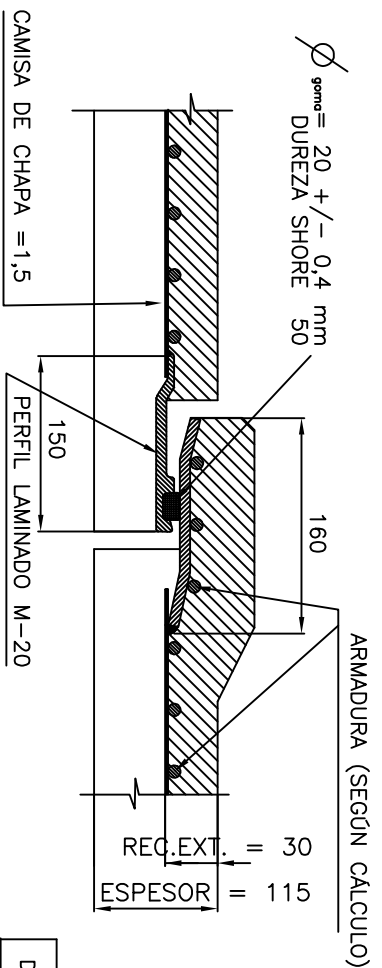
DIT N° 445

LONGITUD = 6000



SECCION LONGITUDINAL

SECCION TRANSVERSAL



DETALLE DE ENCHUFE

DIAM. NOMINAL	DIAM. CABEZAL HEMBRA	DIAM. CABEZAL MACHO
1300 mm	1487 mm.	1484mm.

CARACTERISTICAS DE LOS MATERIALES		
Chapa	Acero Tipo: S 235 JR	
Acero de pretensar	Tension de rotura= 18000 kg/cm ²	
Hormign	Resistencia caract. a compresion	450 kg/cm ²
	Hormign del Nucleo :	350 kg/cm ²
Hormign	Hormign del Revestimiento :	1 52,5 N/SR
	Tipo de cemento	6 1 42,5 R/SR
Hormign	Hormign del Nucleo:	1 42,5 R/SR
	Hormign del Revestimiento:	1 42,5 R/SR

TOLERANCIAS:

- Diametro interior del tubo: +/- 1%, sin exceder de 15 mm.
- Espesor del tubo: +/- 5%
- Ovalizacion del tubo en zona de juntas: +/- 0,5%
- Longitud del tubo: +/- 1%

COTAS EN MM

MODIFICACIONES

FECHA	PROYECTO	PLANO N°	ESCALA
	THPCCJE	1	S/E
	TITULO		
	GEOMETRIA DE TUBO POSTESADO DN1300. DETALLE DE ENCHUFE		
	COMPROBADO	VERIFICADO	APROBADO
			NOTA DE LA EDICION

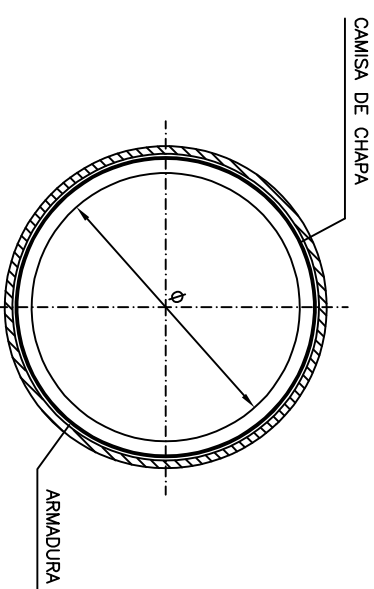
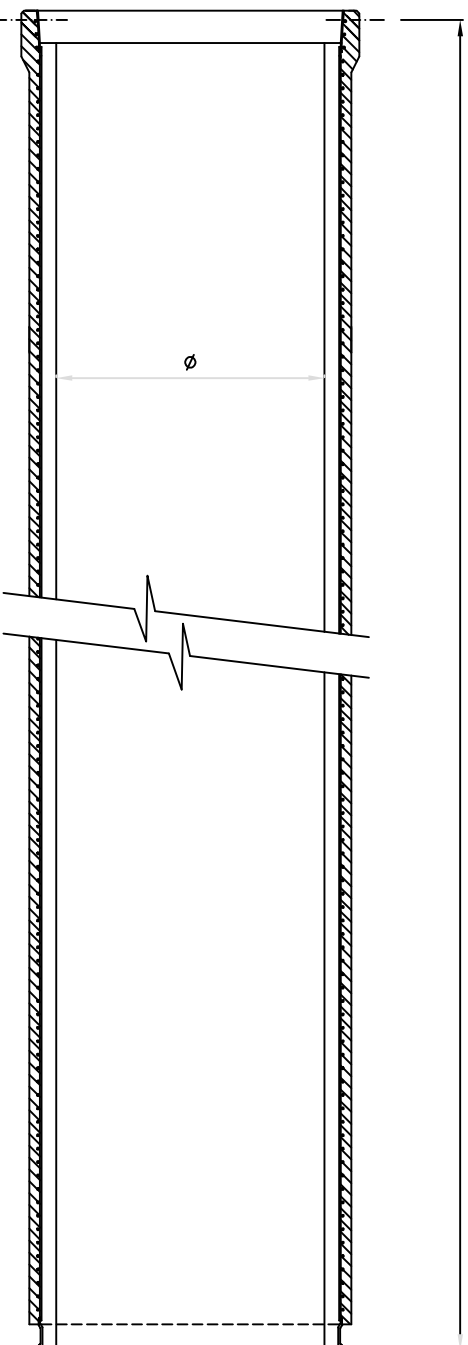


FECHA	DIBUJADO	COMPROBADO	VERIFICADO	APROBADO	NOTA DE LA EDICION
01	J. P. CUERRERO				

GEOMETRIA DE TUBO. DETALLE DE ENCHUFE

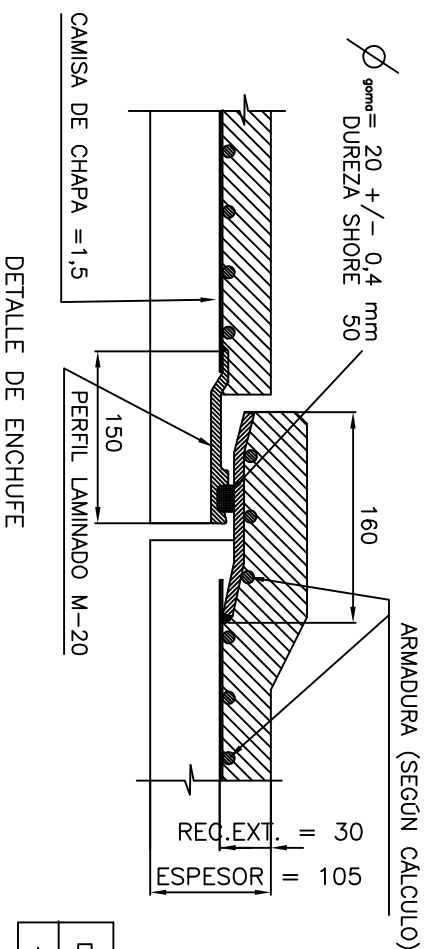
LONGITUD = 6000

DIT N° 445



SECCION LONGITUDINAL

SECCION TRANSVERSAL



DETALLE DE ENCHUFE

DIAM. NOMINAL	DIAM. CABEZAL HEMBRA	DIAM. CABEZAL MACHO
1200 mm	1366,5 mm.	1364mm.

CARACTERISTICAS DE LOS MATERIALES		
Chapa	Acero Tipo: S 235 JR	
Acero de pretensar	Tension de rotura = 18000 kg/cm ²	
Hormigon	Resistencia caract. a compresion	430 kg/cm ²
	Hormigon del Nucleo :	350 kg/cm ²
	Hormigon del revestimiento :	6 1 42,5 R/SR
	Tipo de cemento	6 1 42,5 R/SR
	Hormigon del Nucleo:	6 1 42,5 R/SR
	Hormigon del Revestimiento:	6 1 42,5 R/SR

TOLERANCIAS:

- Diametro interior del tubo: +/- 1%, sin exceder de 15 mm.
- Espesor del tubo: +/- 5%
- Ovalizacion del tubo en zona de juntas: +/- 0,5%
- Longitud del tubo: +/- 1%

COTAS EN MM

FECHA	MODIFICACIONES

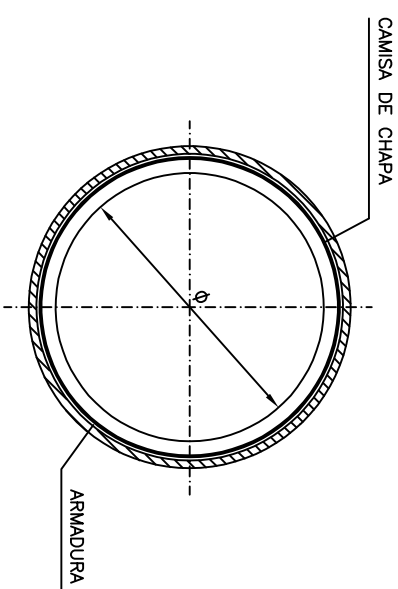
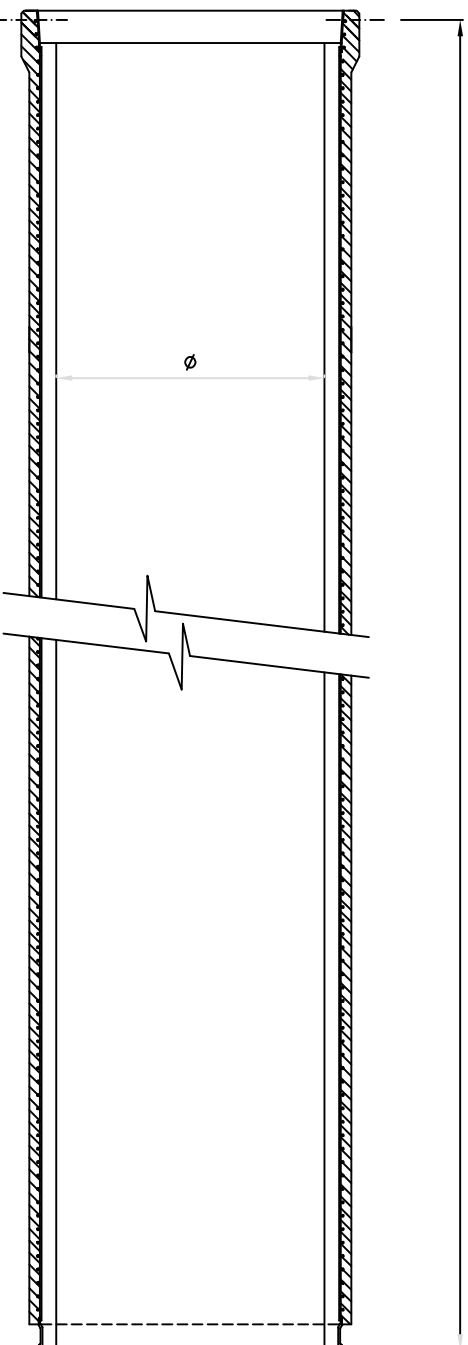


PROYECTO	THPCCJE DN1200	
PLANO N°	1	ESCALA S/E
TITULO	GEOMETRIA DE TUBO POSTESADO DN1200. DETALLE DE ENCHUFE	
FECHA	DIBUJADO	VERIFICADO
01	J. P. GUERRERO	
	COMPROBADO	APROBADO
		MOTIVO DE LA EDICION

GEOMETRIA DE TUBO. DETALLE DE ENCHUFE

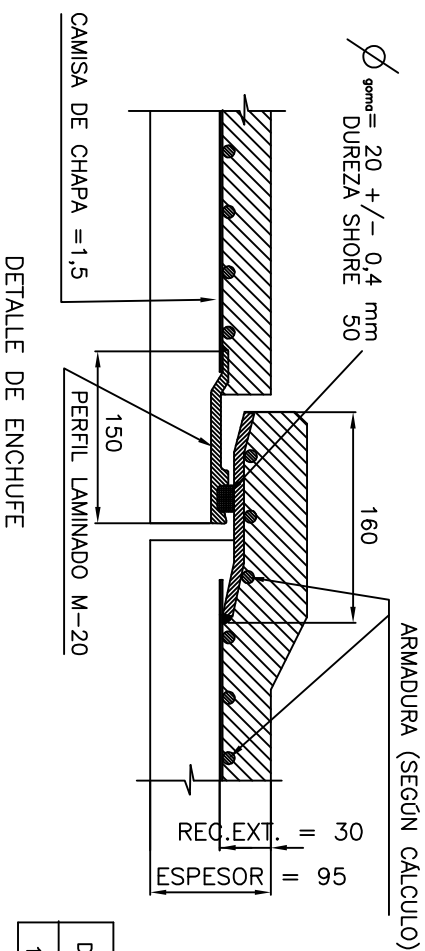
LONGITUD = 6000

DIT Nº 445



SECCION LONGITUDINAL

SECCION TRANSVERSAL



DETALLE DE ENCHUFE

DIAM. NOMINAL	DIAM. CABEZAL HEMBRA	DIAM. CABEZAL MACHO
1000 mm	1146,5 mm.	1144mm.

CARACTERISTICAS DE LOS MATERIALES		
Chapa	Acero Tipo: S 235 JR	
Acero de pretensar	Tension de rotura = 18000 kg/cm ²	
Hormigon	Resistencia caract. a compresion	430 kg/cm ²
	Hormigon del Nucleo :	350 kg/cm ²
	Hormigon del revestimiento :	6 f 42,5 R/SR
	Tipo de cemento	6 f 42,5 R/SR

TOLERANCIAS:

- Diametro interior del tubo: +/- 1%, sin exceder de 15 mm.
- Espesor del tubo: +/- 5%
- Ovalizacion del tubo en zona de juntas: +/- 0,5%
- Longitud del tubo: +/- 1%

COTAS EN MM

FECHA	MODIFICACIONES



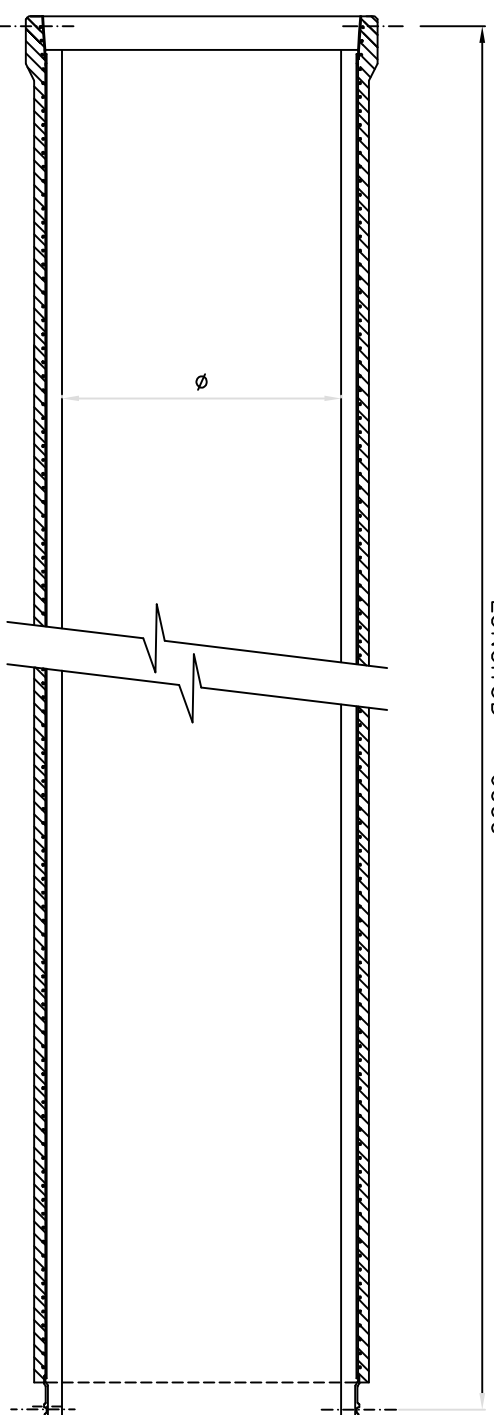
PROYECTO	THPCCJE DN1000	
PLANO Nº	1	ESCALA S/E
TITULO	GEOMETRIA DE TUBO POSTESADO DN1000. DETALLE DE ENCHUFE	
FECHA	DIBUJADO	VERIFICADO
01	J. P. GUERRERO	

GEOMETRIA DE TUBO. DETALLE DE ENCHUFE

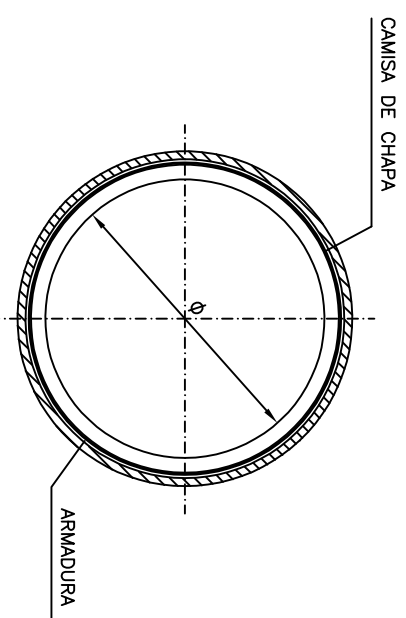


DIT N° 445

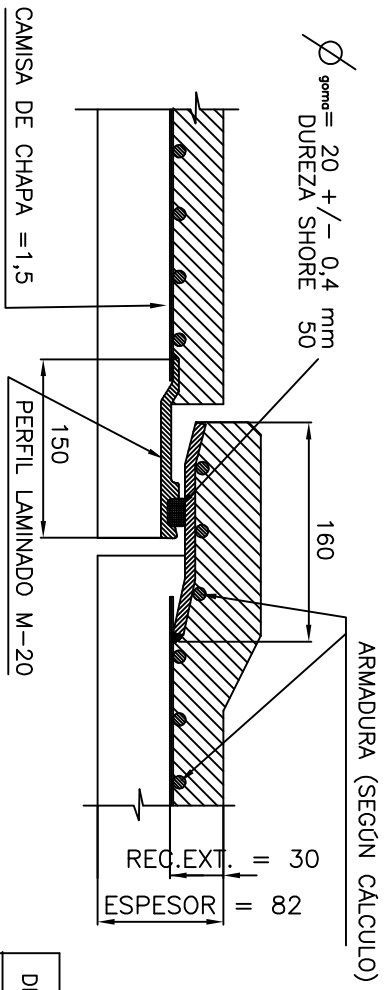
LONGITUD = 6000



SECCION LONGITUDINAL



SECCION TRANSVERSAL



DETALLE DE ENCHUFE

DIAM. NOMINAL	DIAM. CABEZAL HEMBRA	DIAM. CABEZAL MACHO
800 mm	920,5 mm.	918 mm.

CARACTERISTICAS DE LOS MATERIALES	
Chapa	Acero Tipo: S 235 JR
Acero de pretensur	Tension de rotura = 18000 kp/cm ²
Hormign	Resistencia caract. a compresion
	Hormign del Nucleo :
Hormign	Hormign del revestimiento :
	Tipo de cemento
Hormign	Hormign del Nucleo:
	Hormign del Revestimiento:

TOLERANCIAS:

- Diámetro interior del tubo: +/- 1%, sin exceder de 15 mm.
- Espesor del tubo: +/- 5%
- Ovalización del tubo en zona de juntas: +/- 0,5%
- Longitud del tubo: +/- 1%

COTAS EN MM

FECHA	MODIFICACIONES



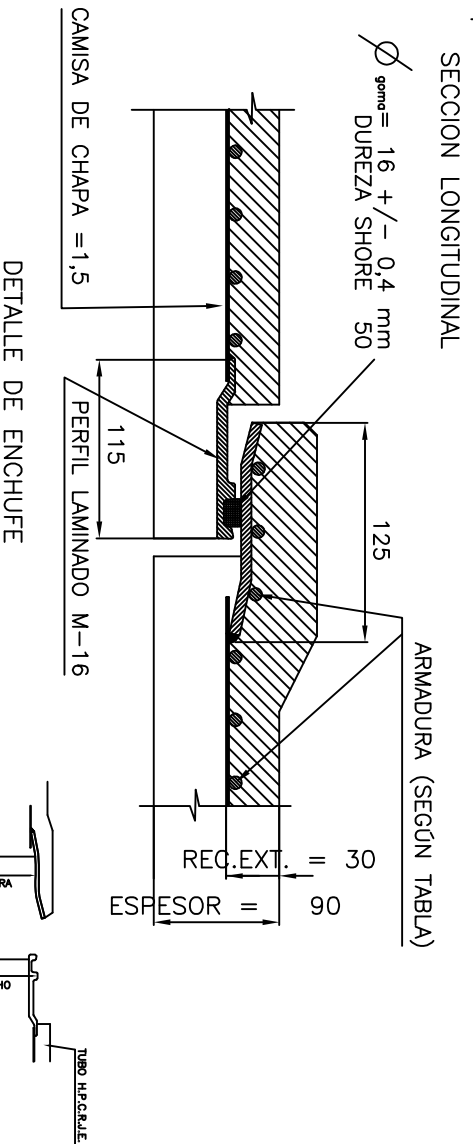
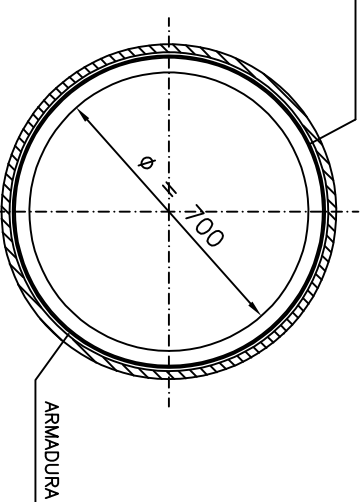
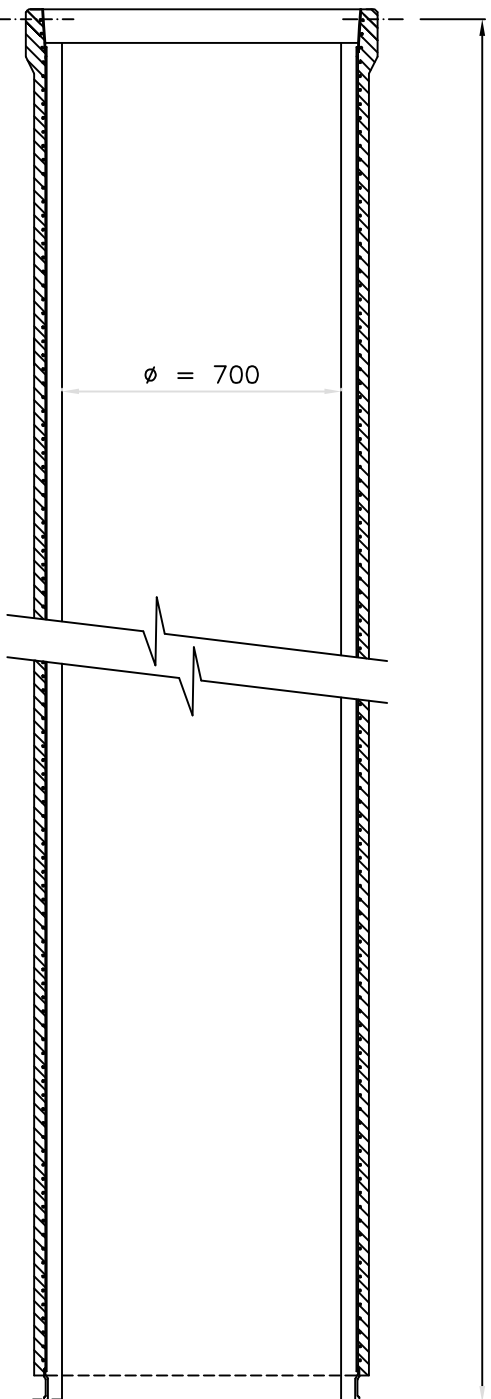
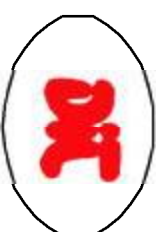
PROYECTO	TIPOCCTE	DN800
PLANO N°	1	ESCALA S/E
TITULO	GEOMETRIA DE TUBO POSTESADO DN1000. DETALLE DE ENCHUFE	

FECHA	DIBUJADO	COMPROBADO	VERIFICADO	APROBADO	MOTIVO DE LA EDICION
01	J. P. GUERRERO				

GEOMETRIA DE TUBO. DETALLE DE ENCHUFE

LONGITUD = 6000

DIT N° 445



CUADRO DE ARMADURAS:

DIAM (mm)	Propor ^t (dtrn)	HT (m)	ESPESOR (mm)	REC. INTER. (mm)	REC. EXT. (mm)	CABEZAL HEMBRA	CABEZAL MACHO	ESP. CHAPA (mm)
700	1-25	1<hk<3	90	60	30	125x6	M-16	1,5

DIAM. NOMINAL	DIAM. CABEZAL HEMBRA	DIAM. CABEZAL MACHO
700 mm	836,5 mm.	834,5 mm.

CARACTERISTICAS DE LOS MATERIALES		
Chapa	Carga unitaria minima	3000 kp/cm ²
	Límite elastico	2200 kp/cm ²
Acero de pretensur	Alongamiento a rotura	> 20 %
	Tensión de rotura= 18000 kp/cm ²	
Hormigón	Resistencia caract. a compresión	450 kp/cm ²
	Hormigón del Núcleo :	300 kp/cm ²
Hormigón	Hormigón del revestimiento :	6 I 52,5 N/SR
	Hormigón del Revestimiento:	6 I 42,5 R/SR

TOLERANCIAS:

- Diámetro interior del tubo: +/- 1%, sin exceder de 15 mm.
- Espesor del tubo: +/- 5%
- Ovalización del tubo en zona de juntas: +/- 0,5%
- Longitud del tubo: +/- 1%

COTAS EN MM

MODIFICACIONES

FECHA

FECHA

		PROYECTO DNT700		TITULO THPCCE	
PLANO N° 1		ESCALA S/E		MOTIVO DE LA EDICION	
FECHA 01		DIBUJADO O. FIDRZ		VERIFICADO	
COMPROBADO		APROBADO		DIT N° 445	
J. P. GUERRERO		APROBADO		MOTIVO DE LA EDICION	